

Vysoká škola strojní a textilní v Liberci  
nositelka Řádu práce

Fakulta textilní

Obor 31-20-8

Katedra technické kybernetiky

GRADIENTOVÉ METODY NÁVRHU ALGORITMU ŘÍZENÍ

Alena Neďvědová

Vedoucí práce: Prof. Ing. Bořivoj Hanuš, CSc  
/ KTK VŠST Liberec /

KTK ASŘ TF - 031

Rozsah práce a příloh

Počet stran .....	73
Počet příloh	
a tabulek .....	8+23
Počet obrázků .....	22
Počet výkresů .....	0
Počet modelů	
nebo jiných příloh ...	0

4.6. 1982

Vysoká škola: VŠST Liberec  
Katedra: technické kybernetiky

Fakulta: textilní  
Školní rok: 1981/82

## ZADÁNÍ DIPLOMOVÉ PRÁCE

(PROJEKTU, UMĚLECKÉHO DÍLA, UMĚLECKÉHO VÝKONU)

pro s. Alena N e d v ě d o v á  
obor automatizované systémy řízení ve spotřebním průmyslu

Vedoucí katedry Vám ve smyslu nařízení vlády ČSSR č. 90/1980 Sb., o státních závěrečných zkouškách a státních rigorozních zkouškách, určuje tuto diplomovou práci:

Název tématu: Gradientové metody návrhu algoritmu řízení

### Zásady pro vypracování:

- 1) Prostudujte potřebné metody z doporučené literatury.
- 2) Vypracujte program pro výpočet algoritmu pro vyrovnání determinované peruchy na soustavě prvního až pátého řádu.
- 3) Ověřte vypočítané algoritmy simulací regulačních pochodů na číslicovém event. hybridním počítači.
- 4) Proveďte srovnání výpočtu algoritmu metodou gradientovou a jiným přímým způsobem z hlediska náročnosti na počítač, přesnost výsledku, dobu výpočtu.

VYSOKÁ ŠKOLA STROJNÍ A TEXTILNÍ  
Ústřední knihovna  
LIBEREC 1, STUDENTSKÁ 5  
PSČ 461 17

Autorské právo se řídí směrnicemi  
MŠK pro státní záv. zkoušky č.j. 31  
727/62-III/2 ze dně 13. července  
1962-Věstník MŠK XVIII, sešit 24 ze  
dne 31.8.1962 §19 aut.z č.115/53 Sb.

V 16/82 T  
+ PŘÍLOHA

Rozsah grafických prací:

Rozsah průvodní zprávy: 40 - 50 stran

Seznam odborné literatury:

- /1/ Hanuš, B.: Gradientové metody v automatizaci. /Výzkumná zpráva KTK 0078./ Liberec, VŠST 1981.
- /2/ Hanuš, B.: Optimalizace systému řízení. /Skripta./ Liberec, VŠST 1978.
- /3/ Hanuš, B. - Balda, M. a kolektiv: Základy technické kybernetiky. /Skripta./ Liberec, VŠST 1979.
- /4/ Hanuš, B. - Janeček, B. - Kracík, Vl. - Mikulecký, Bl.: Metoda návrhu víceparametrových číslicových regulačních systémů. /Metodická příručka./ Praha, ŠVVTR 1981.

Vedoucí diplomové práce:

Prof. Ing. Beřivoj Hanuš, DrSc.

Konzultant:

Ing. Bedřich Janeček

Datum zadání diplomové práce:

15.9.1981

Termín odevzdání diplomové práce:

4.6.1982



Doc. Ing. Ján Alaxin, CSc.

Vedoucí katedry

Doc. Ing. Jáchym Novák, CSc.

Děkan

Prohlášení

Místopřísežně prohlašuji, že jsem diplomovou  
práci vypracovala samostatně, s použitím uvedené  
literatury

*Aleuia Nedrážková*

V Liberci, dne 4.6. 1982

OBSAH	strana
Úvod .....	1
1. Základní pojmy .....	3
2. Gradientové metody v automatizaci .....	5
2.1. Kaczmarzův algoritmus .....	5
2.2. Výpočet řídícího algoritmu .....	8
3. Praktické použití Kaczmarzova gradientního algoritmu .....	13
3.1. Výpočet akčních zásahů .....	17
3.2. Výpočet koeficientů algoritmu řízení .....	33
4. Ověření vypočtených algoritmů simulací regulačních pochodů .....	45
5. Urychlení konvergence gradientního Kaczmarzova algoritmu .....	56
5.1. Algoritmus ortogonalizace vstupních vektorů .....	58
5.2. Zobecněný Kaczmarzův algoritmus .....	59
5.3. Algoritmus relaxace .....	60
5.4. Optimální volba koeficientu konvergence ....	60
5.5. Doplnění Kaczmarzova algoritmu s využitím hledání ve směru .....	61
5.6. Využití konvergence geometrické řady .....	63
5.7. Volba počátečního odhadu .....	65

6.	Porovnání metod .....	6 8
6.1.	Náročnost na paměť počítače .....	6 8
6.2.	Náročnost na programování .....	6 8
6.3.	Doba výpočtu .....	6 9
6.4.	Přesnost .....	7 0
6.5.	Použití .....	7 0
Závěr	.....	7 1
Literatura .....		7 2

### POUŽITÁ OZNAČENÍ

X vektor  $\underline{X}$

A matici A

$\nabla F(\underline{x})$  gradient funkce  $F(\underline{x})$

$\nabla^2 F(\underline{x}), \underline{H}(\underline{x})$  Hessova čtvercová matice druhých parciálních derivací  $F(\underline{x})$

$\Delta \underline{w}$  vektor akčních zásahů

$\Delta \hat{\underline{w}}$  odhad vektoru akčních zásahů

$\underline{y}$  vektor optimálních výstupů ze soustavy

n řád soustavy

d skoková porucha na vstupu do soustavy

w skoková změna na řízení

### OZNAČENÍ V TABULKÁCH

řS řád soustavy

PP počet podmínkových rovnic

čP číslo podmínkové rovnice

PI počet iterací

čI číslo iterace

LS levá strana

$\delta(\Delta w_i)$  přírůstek i-tého akčního zásahu

## ÚVOD

Základem hospodářského a sociálního programu KSČ je pro období let 1981 - 1985 generální linie výstavby rozvinuté socialistické společnosti.

Splnění záměrů sedmého pětiletého plánu vyžaduje v mnohem urychlení a maximální využití výsledků vědeckotechnického rozvoje jako podmínky ke zvyšování efektivnosti společenské výroby, růstu intenzifikace ekonomiky, zvýšení efektivnosti a kvality veškeré práce.

Jedním z účelných prostředků realizace stanovených úloh je uplatňování vyššího stupně automatizace výrobních procesů při současném využívání automatizovaných systémů řízení technologických procesů v průmyslu, dopravě, stavebnictví, spojích a v zemědělství.

Také v oblasti textilních strojů je nutno vytvářet podmínky pro zavádění automatizovaných systémů řízení, neboť zabezpečení optimálního řízení procesů pomocí výpočetní techniky umožní zvýšit produktivitu zařízení, zlepší kvalitu výroby snižováním ztrát surovin a materiálů.

Složitost problémů ASŘ technologických procesů vyplývá už z obecného chápání pojmu řízení. Řízení lze definovat jako funkční vztah mezi řídícím subjektem a řízeným objektem. Řídící subjekt působí na řízený objekt a usměrňuje jeho chování. Chceme-li účelně působit na jakýkoliv objekt, musíme znát nejen cíle řízení, ale i samotný objekt. Musíme tedy stanovit logické a kvantitativní závislosti mezi stavovými proměnnými objektů a vnějšími vlivy, tj. musíme provést identifikaci objektu. Informace získaná o stavu objektu a

přenesená do řídícího systému musí být transformována v souladu s dynamickými vlastnostmi řízeného objektu a předepsaným kriteriem efektivnosti. Tuto transformaci provádí algoritmus řízení. Algoritmy řízení lze navrhovat různými způsoby.

Kaczmarz ve své práci / 9 / uvádí gradientní iterační algoritmus pro výpočet koeficientů v lineárním vztahu.

Úkolem diplomové práce je ověřit vhodnost této metody pro její použití k návrhu řídících algoritmů.

Byla sestavena řada programů, sloužící k výpočtu a ověření algoritmů na počítači RPP - 16S.

1. Základní pojmy

Předpokládejme, že máme nalézt bod minima  $\underline{x}^*$  funkce  $F(\underline{x})$ , tedy takový vektor  $\underline{x}$ , pro který platí

$$F(\underline{x}) \leq F(\underline{x})$$

$\underline{x}$  má složky  $(x_1, x_2, \dots, x_n)$

Úloha minimalizace se dá jednoduchou úpravou

$$-\max F(\underline{x}) = \min (-F(\underline{x}))$$

převést na hledání maxima. Proto se lze bez újmy na obecnosti zaměřit jen na problém určení minima funkce  $F(\underline{x})$ .

Minimalizační úlohy definované rovnicí

$$\min F(\underline{x}) \quad \text{pro} \quad \forall \underline{x} \in E^n \quad (1-1)$$

se v praxi vyskytuje při hledání extrémů funkcí nebo při řešení soustav rovnic.

V případě řešení soustavy rovnic

$$h_j(\underline{x}) = 0$$

můžeme řešení převést na problém hledání minima funkce

$$F(\underline{x}) = \sum_{j=1}^m |h_j(\underline{x})|$$

Gradient funkce

$$\nabla^T F(\underline{x}) = \left[ \frac{\partial F(\underline{x})}{\partial x_1}, \frac{\partial F(\underline{x})}{\partial x_2}, \dots, \frac{\partial F(\underline{x})}{\partial x_n} \right]$$

udává směr, ve kterém funkce  $F(\underline{x})$  v daném bodu  $\underline{x}$  nejrychleji roste. Gradient je kolmý k tečné nadrovině sestrojené v téžem bodu k nadploše konstantní hodnoty funkce  $F(\underline{x})$ .

Vektor  $P(\underline{x})$  obrácený ke gradientu má směr největšího spádu /nejstrmějšího sestupu/.

$$P(\underline{x}) = -\nabla^T F(\underline{x})$$

Gradientové metody se používají pro určování volného extrému funkcí více proměnných. / formulace úlohy- vztah(1-1)/

Nutné a postačující podmínky jsou při hledání ostrého minima

$$\nabla F(\underline{x}) = 0$$

$$\nabla^2 F(\underline{x}) - \text{pozitivně definitní}$$

Pro určení hodnot souřadnic extrému se používá iteračního postupu

$$\underline{x}_{k+1} = \underline{x}_k + \Delta \underline{x}_k = \underline{x}_k + \mu_k \underline{s}_k^* = \underline{x}_k + \mu_k \underline{s}_k$$

kde jsou

$\underline{x}_k$  hodnota předchozího bodu řešení

$\Delta \underline{x}_k$  přírůstkový vektor pro přechod na následující bod řešení

$\underline{s}_k^*$  jednotkový směrový vektor ve směru  $\Delta \underline{x}_k$

$\underline{s}_k$  libovolný vektor ve směru

$\mu_k, \mu_k^*$  skaláry

2. Gradientové metody v automatizaci

## 2.1. Kaczmarzův algoritmus

Kaczmarz ve své práci / 9 / popsal algoritmus pro určení neznámých koeficientů v lineárním vztahu. Řadu úloh automatizace lze převést na problém určení parametrů v lineárním vztahu mezi vstupem a výstupem.

$$\underline{y} = \underline{\alpha}^T \cdot \underline{w} + \epsilon = \underline{y}^s + \epsilon \quad (2.1-1)$$

kde je

$\underline{y}^s$  skalárni výstup ze soustavy odpovídající jejímu přenosu  $\underline{y}^s = \underline{\alpha}^T \cdot \underline{w}$

$\underline{y}$  skalárni výstup soustavy zatížený aditivní náhodnou chybou  $\epsilon$

$\underline{w}$  vektor  $[n, 1]$  vstupu soustavy

$\underline{\alpha}$  vektor  $[n, 1]$  parametrů soustavy

$\epsilon$  skalárni náhodná chyba s nulovou střední hodnotou  $E[\epsilon]$  a nekorelovaná s  $\underline{w}$  a  $\underline{y}^s$

Pro určení parametrů  $\underline{\alpha}$  je k dispozici N vztahů (2.1-1), získaných například měřením ( $N \geq n$ )

Střední hodnota kvadrátu rozdílu  $\underline{y} - \underline{\alpha}^T \underline{w}$  je rovna při  $N \rightarrow \infty$

$$\begin{aligned} E\{(\underline{y} - \underline{\alpha}^T \underline{w})^2\} &= E\{(\underline{y}^s + \epsilon - \underline{\alpha}^T \underline{w})^2\} = E\{(\underline{y}^s - \underline{\alpha}^T \underline{w})^2\} + \\ &+ 2E\{\epsilon(\underline{y}^s - \underline{\alpha}^T \underline{w})\} + E\{\epsilon^2\} = E\{\epsilon^2\} + E\{(\underline{y}^s - \underline{\alpha}^T \underline{w})^2\} \end{aligned}$$

Odtud vyplývá, že optimální odhad parametrů  $\hat{\underline{\alpha}} = \underline{\alpha}$  soustavy minimalizuje střední hodnotu kvadrátu rozdílu  $\underline{y} - \underline{\alpha}^T \underline{w}$

$$\min E\{(\underline{y} - \hat{\underline{\alpha}}^T \underline{w})^2\}$$

kde  $\hat{\underline{\alpha}}$  je odhad vektoru  $[n, 1]$  parametrů soustavy.

Pro konečné N je možno určit optimální odhad  $\hat{\underline{\alpha}}$  z podmínky minima funkcionálu J

$$\min J = \min \sum_{i=1}^N (y(i) - \hat{a}^T \underline{w}(i))^2$$

$$\frac{\partial J}{\partial \hat{a}} = -2 \sum_{i=1}^N (y(i) - \hat{a}^T \underline{w}(i)) \underline{w}(i) = 0$$

$$\hat{a} = \sum_{i=1}^N (\underline{w}(i) \underline{w}(i)^T)^{-1} \cdot \sum y(i) \underline{w}(i) \quad (2.1-2)$$

Výpočet odhadu  $\hat{a}$  podle vzorce (2.1-2) není často dost vhodný.

Je potřeba provádět inverzi matice a ukládat do paměti velké množství dat. Vhodnější pro zpracování na počítači jsou metody iterační. Podle Kaczmarze, gradientová metoda minimalizuje postupně účelové funkce

$$J = (y(i) - \hat{a}^T \underline{w}(i))^2 \quad i = 1 \text{ až } N \quad (2.1-3)$$

Výchozí odhad parametrů nechť je  $\hat{a}_0$ .

Pro  $k$ -tou iteraci pak platí ( $k = i$ )

$$\hat{a}(k) = \hat{a}(k-1) - \nu_k \frac{\partial J}{\partial \hat{a}} \Big|_{k-1} = \hat{a}(k-1) + 2\nu_k [y(k) - \hat{a}^T(k-1) \underline{w}(k)] \underline{w}(k) \quad (2.1-4)$$

kde je

$\nu_k$  koeficient / zesílení / konvergence

$$\nu_k > 0$$

Protože účelová funkce (2.1-3) je kvadratická, existuje konečný Taylorův rozvoj / 1 /

$$J(\underline{a}(k)) = J(\underline{a}(k-1) + \frac{\partial J^T}{\partial \underline{a}} \Delta \underline{a} + \frac{1}{2} \Delta \underline{a}^T H(k-1) \Delta \underline{a}) \quad (2.1-5)$$

kde je

$H(k-1)$  Hessova matice účelové funkce

$$H(k-1) = 2 \underline{w}(k) \underline{w}(k)^T$$

Volíme-li přírůstek  $\Delta \underline{a}$  ve směru obráceného gradientu

$$\Delta \underline{a} = -\nu_k \frac{\partial J}{\partial \underline{a}} \Big|_{k-1} \quad (2.1-6)$$

po dosazení (2.1-6) do (2.1-5) a po derivaci podle  $\nu_k$

získáme minimum funkcionálu  $J$  v bodě  $\underline{\alpha}_k / 2 /$ .

$$\underline{\alpha}_k = \frac{1}{2 \underline{w}^T(k) \underline{w}(k)} \quad (2.1-7)$$

po dosazení (2.1-7) do (2.1-4) obdržíme iterační vzorce

$$\underline{\alpha}(k) = \underline{\alpha}(k-1) + \lambda_k \frac{y(k) - \underline{\alpha}^T(k-1) \underline{w}(k)}{\underline{w}^T(k) \underline{w}(k)} \underline{w}(k) \quad (2.1-8)$$

koeficientem  $\lambda_k$  lze kontrolovat rychlosť konvergencie.

Nulové body účelové funkcie (2.1-3) vytvárají nadrovinu

$$y(k) - \underline{\alpha}^T \underline{w}(k) = 0 \quad (2.1-9)$$

Volbou  $\lambda$  se určuje ďalší bod iteracie  $\hat{\underline{\alpha}}_k$  na normálne spuštěné z  $\underline{\alpha}(k-1)$  na nadrovinu (2.1-9) mezi bodom  $\underline{\alpha}(k-1)$  ( $\lambda_k=0$ ) a patou normály ( $\lambda_k=1$ ).

Tím se vlastně s nejmenšími změnami parametrů  $\underline{\alpha}(k-1)$  přiblížíme k minimální hodnotě účelové funkcie (2.1-3). Matematicky lze formulovat přechod do paty kolmice jako minimum účelové funkcie

$$\min J = \min (\underline{\alpha}(k) - \underline{\alpha}(k-1))^T (\underline{\alpha}(k) - \underline{\alpha}(k-1))$$

při vedlejší podmínce

$$y(k) - \underline{\alpha}^T(k) \underline{w}(k) = 0$$

Pomocí Lagrangeových multiplikátorů se převádí problém na minimum funkcionálu

$$\begin{aligned} \min J = \min & \left\{ (\underline{\alpha}(k) - \underline{\alpha}(k-1))^T (\underline{\alpha}(k) - \underline{\alpha}(k-1)) + \right. \\ & \left. + p(y(k) - \underline{\alpha}^T(k) \underline{w}(k)) \right\} \end{aligned}$$

kde je

$p$  Lagrangeův multiplikátor

pro minimum platí

$$\frac{\partial J}{\partial \underline{\alpha}(k)} = 2(\underline{\alpha}(k) - \underline{\alpha}(k-1)) - p \underline{w}(k) = 0 \quad (2.1-10)$$

$$y(k) - \underline{\alpha}^T(k) \underline{w}(k) = 0$$

$$(2.1-11)$$

Vynásobením rovnice (2.1-10) členem  $\underline{w}^T(k)$  a s použitím rovnice (2.1-11) dostáváme

$$p = 2 \frac{\underline{y}(k) - \hat{\underline{a}}^T(k-1) \underline{w}(k)}{\underline{w}^T(k) \underline{w}(k)} \quad (2.1-12)$$

po dosazení tohoto vztahu (2.1-12) zpět do (2.1-10) a s použitím koeficientu konvergence  $\mathcal{H}_K$

$$\hat{\underline{a}}(k) = \hat{\underline{a}}(k-1) + \mathcal{H}_K \frac{\underline{y}(k) - \hat{\underline{a}}^T(k-1) \underline{w}(k)}{\underline{w}^T(k) \underline{w}(k)} \underline{w}(k) \quad (2.1-13)$$

## 2.2. Výpočet řídícího algoritmu

Řídící algoritmy pro číslicový počítač jsou navrhovány podle nejrůznějších kritérií. Velmi obecným kritériem jakosti regulace je minimum funkcionálu

$$J = \sum_{i=1}^N (\underline{y}_i^2 + p \Delta w_{i-1}^2) \rightarrow \min \quad (2.2-1)$$

kde je

$\underline{y}_i$  hodnota regulované veličiny v i-tém kroku sledovaného regulačního pochodu

$\Delta w_i$  akční zásah regulátoru v i-tém kroku

$$\Delta w(i) = w(i) - w(i-1)$$

$p^2$  konstantní váhový koeficient

O regulačním pochodu předpokládáme, že je vyvolán determinovanou poruchou. V našem případě uvažujeme skokovou změnu na vstupu regulované soustavy v čase ( $i = -1$ ) před započetím nultého kroku regulačního pochodu ( $i = 0$ ).

## Určení optimálních akčních zásahů

Nechť je odezva regulované soustavy na determinovanou poruchu dána posloupností  $\underline{y}_0$

$$\underline{y}_0^T = [y_{00}, y_{01}, y_{02}, \dots, y_{0N}] \quad (2.2-2)$$

a odezva na jednotkový akční zásah v čase ( $i = 0$ ) dána posloupností  $\underline{f}$

$$\underline{f}^T = [f_1, f_2, \dots, f_N] \quad (2.2-3)$$

Regulační pochod je pak dána posloupností akčních zásahů  $\Delta \underline{w}$

$$\Delta \underline{w}^T = [\Delta w_0, \Delta w_1, \dots, \Delta w_{N-1}] \quad (2.2-4)$$

a regulovaných veličin  $\underline{y}$

$$\underline{y}^T = [y_1, y_2, \dots, y_N] \quad (2.2-5)$$

Platí konvolutorní vztah

$$y_i = y_{0i} + \sum_{j=0}^{i-1} f_{i-j} \Delta w_j \quad (2.2-6)$$

Po dosazení (2.2-6) do funkcionálu (2.2-1) je jeho hodnota

$$J = \sum_{i=1}^N \left[ (y_{0i} + \sum_{j=0}^{i-1} f_{i-j} \Delta w_j)^2 + \beta^2 \Delta w_{i-1}^2 \right] \rightarrow \min \quad (2.2-7)$$

derivováním (2.2-7) podle  $\Delta \underline{w}$  dostáváme soustavu rovnic pro optimální akční zásahy

$$\frac{\partial J}{\partial \Delta w} = \begin{bmatrix} \sum_{i=1}^N (y_{0i} + \sum_{j=0}^{i-1} f_{i-j} \Delta w_j) f_i + \beta^2 \Delta w_0 \\ \sum_{i=2}^N (y_{0i} + \sum_{j=0}^{i-1} f_{i-j} \Delta w_j) f_{i-1} + \beta^2 \Delta w_1 \\ \cdots \\ (y_{0N} + \sum_{j=0}^{N-1} f_{i-j} \Delta w_j) f_1 + \beta^2 \Delta w_{N-1} \end{bmatrix} = 0$$

Řádky soustavy rovnic (2.2-8) lze upravit na lineární vztah ve smyslu (2.1-1)

$$\underline{y} = \underline{\alpha}^T \underline{w} = \Delta \underline{w}^T \underline{w} \quad (2.2-9)$$

kde je

$\underline{y}$  levá strana

$$\underline{y} = \underline{y}(k^*) = - \sum_{i=k^*}^N y_i f_{i+1-k^*} \quad k^* = 1 \text{ až } N \quad (2.2-10)$$

$\underline{\alpha}$  vektor  $[N, 1]$  parametrů, což v našem případě představuje neznámý vektor optimálních akčních zásahů  $\Delta \underline{w}$

$$\underline{\alpha}^T = \Delta \underline{w}^T = [\Delta w_0, \Delta w_1, \dots, \Delta w_{N-1}]$$

$\underline{w}$  vektor  $[N, 1]$  vstupů

$$\underline{w}^T = \underline{u}^T(k^*) = \left[ \left( \sum_{i=k^*}^N f_i f_{i+1-k^*} + p^2 \delta(1, k^*) \right), \left( \sum_{i=k^*+1}^N f_{i-1} f_{i+1-k^*} + p^2 \delta(2, k^*) \right), \dots, \left( \sum_{i=k^*}^N f_{i-N+1} f_{i+1-k^*} + p^2 \delta(N, k^*) \right) \right] \quad (2.2-11)$$

$$k^* = 1 \text{ až } N$$

$\delta(\ell, k^*)$  Kroneckerovo delta = 1 pro  $\ell = k^*$   
= 0 pro  $\ell \neq k^*$ .

$k^*$  celé číslo, zbytek po dělení pořadového čísla iterace  
číslem  $N$

$$k^* = 1 \text{ až } N.$$

Pro odhad vektoru akčních zásahů v  $k$ -tém iteračním kroku lze pak podle (2.1-8) psát

$$\Delta \hat{\underline{w}}(k) = \Delta \hat{\underline{w}}(k-1) + \alpha_k \frac{\underline{y}(k^*) - \Delta \hat{\underline{w}}^T(k-1) \underline{w}(k^*)}{\underline{w}^T(k^*) \underline{w}(k^*)} \underline{w}(k^*) \quad (2.2-12)$$

Za počáteční odhad lze volit například  $\Delta \hat{\underline{w}}(0) = \underline{0}$

Při iteraci se podmínky (2.2-8) znova cyklicky opakují po průjítí  $N$  iteračních kroků

## Výpočet koeficientů algoritmu řízení

Rídící algoritmus předpokládáme ve tvaru / r-rozměrná regula-

ce /

$$\Delta \underline{w}_j = \sum_{i=0}^{n-1} \underline{A}_i^T \underline{\psi}_{j-i} + \sum_{i=1}^{n-1} \underline{B}_i^T \Delta \underline{w}_{j-i} \quad (2.2-13)$$

kde je

$\Delta \underline{w}_j$  vektor  $[v_{j1}]$  akčních zásahů v j-tém krokovacím inter-

valu optimálního regulačního pochodu, získaný výpoč-

tem pro r různých vstupních poruch

$\underline{\psi}_{j-i}$  vektor regulovaných veličin v (j - i) -tém kroko-

cím intervalu optimálního regulačního pochodu

$\underline{A}_i, \underline{B}_i$  matice koeficientů optimálního řídícího algoritmu

Soustavu rovnic (2.2-13) lze rozepsat na podmínky pro každý akční zásah v i-té řádce samostatně. Tím získáme opět lineární vztah

$$\underline{y} = \underline{\alpha}^T \underline{w}, \quad y(k^*) = \underline{\alpha}^T \underline{w}(k^*) \quad k^* = 1 \text{ až } N$$

kde je

$y(k^*)$  velikost optimálního akčního zásahu v  $k^*$ -tém kroko-

vacím intervalu regulač. pochodu

$\underline{\alpha}$  vektor všech koeficientů řídícího algoritmu v jedné řádce

$$\underline{\alpha}^T = \underline{\alpha} = [\underline{\alpha}_1 \dots \underline{\alpha}_m]$$

$\underline{w}$  vektor vstupů příslušných krokovacímu intervalu  $k^*$

$k^*$  celé číslo, zbytek po dělení pořadového čísla itera-

ce  $k$  číslem  $N$  / místo  $k^* = 0$  se však bere  $k^* = N$  /

Pro odhad koeficientů algoritmu lze pak psát podle (2.1-8)

vztah

$$\hat{a}(k) = \hat{a}(k-1) + \rho_k \frac{\Delta u(k^*) - \hat{a}^T(k-1) u(k^*)}{u^T(k^*) u(k^*)} u(k^*) \quad (2.2-14)$$

### 3. Praktické použití Kaczmarzova gradientního algoritmu

Cílem práce je ověřit vhodnost Kaczmarzova algoritmu / 9 /, při výpočtu diskrétních řídících algoritmů.

K tomuto účelu byl sestaven soubor programů; programy pro výpočet optimálních akčních zásahů pro vyrovnání determinované poruchy v konečném / minimálním / počtu kroků a pro vyrovnání determinované poruchy podle kvadratického kritéria, dále programy pro výpočet koeficientů algoritmu řízení.

K ověření vypočtených hodnot akčních zásahů v minimálním počtu kroků byl sestaven program kontrolní, řešící tento výpočet ne iteračně, ale přímo, jak je odvozeno v / 5 /.

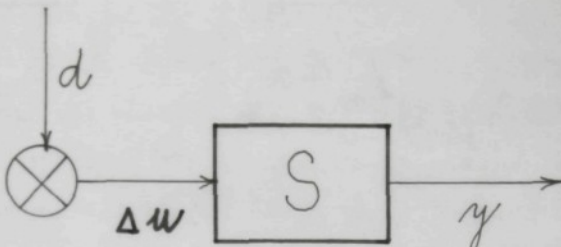
K ověření vypočtených hodnot akčních zásahů podle kvadratického kritéria byl použit program DEP / 6 /.

Program na simulaci regulačních pochodů má sloužit k porovnání vypočtených algoritmů; byl sestaven s pomocí / 6 /.

Fáze postupu při práci s Kaczmarzovým algoritmem jsou uvedeny v následujícím schematickém přehledu. Očíslování postupu souhlasí s čísly kapitol, ve kterých je postup zkoumán podrobněji. Dále jsou v schematu uvedeny názvy jednotlivých programů, které řeší výpočet prakticky. Jednotlivé programy jsou popsány v příloze 1. Výsledky programů jsou uvedeny v přílohách 3-8.

## SCHEMATICKÝ PŘEHLED POSTUPU

## 3.1. Výpočet akčních zásahů



Obr. 3-1

Známe:  $d$  ... determinovaná porucha / určena tvarem, místem vstupu /

$S$  ... soustava určena hodnotami přechodové charakteristiky  $f$

Určíme:  $\Delta w$  ... optimální akční zásahy

Způsoby určení  $\Delta w$ :

a/ Algoritmus - minimální počet regulačních kroků

- Kaczmarzův algoritmus výpočtu / kap. 3.1. /, program MING

- primá metoda výpočtu / 5 /, program MPK

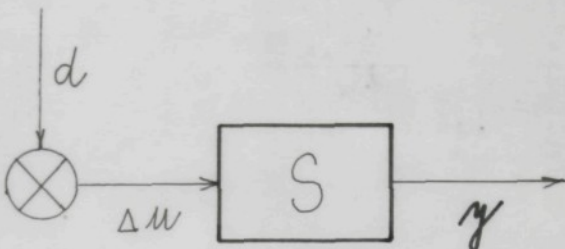
b/ Kvadratické kritérium jakosti regulace

- Kaczmarzův algoritmus výpočtu / kap. 2.2. /, program AKC

- primá metoda výpočtu / 4 /, program DEP / 6 /

## 3.2. Výpočet koeficientů algoritmu řízení

a/ Provedení simulace průběhu regulované veličiny



Obr. 3-2

Známe:  $d$  ... determinovaná porucha / určena tvarem a místem vstupu /

$S$  ... soustava určena hodnotami přechodové charakteristiky  $f$

$\Delta u$  ... optimální akční zásahy vypočtené podle /kap. 3.1./

Určíme:  $y$  ... optimální průběh regulované veličiny

Způsob určení  $y$ :

- pomocí konvolutorního součtu

$$y_i = y_{oi} + \sum_{j=0}^{i-1} f_{i-j} \Delta u_j$$

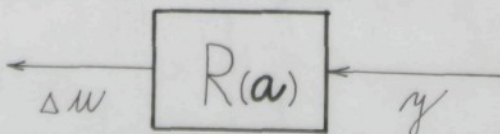
kde je

$y_i$  hodnota regulované veličiny  $y$  v i-tém kroku regulačního pochodu

$y_{oi}$  odezva regulované soustavy na determinovanou poruchu v i-tém kroku regulačního pochodu

Tato simulace je provedena v programu RR

b/ Výpočet koeficientů algoritmu řízení



Obr. 3-3

Známe:  $\gamma$  ... optimální průběh regulované veličiny  
/ viz. 3.2.a /

$\Delta M$  ... optimální akční zásahy / viz. 3.1.a, b /

$R()$  ... strukturu regulátoru, tj. algoritmu řízení  
/ dána vztahem(2.2-13)/

Určíme:  $\alpha$  ... koeficienty řídícího algoritmu

Způsob určení  $\alpha$ :

a/ Kaczmarzovým algoritmem / kap. 2.2. /, program RR

b/ přímou metodou výpočtu odvozenou v / 4 /, program DEP / 6 /

## 3.1. Výpočet akčních zásahů

a/ Algoritmus - minimální počet kroků

Při použití tohoto algoritmu se vychází ze znalosti hodnot přechodové charakteristiky / tj. soustava plně popsána /, z konvolutorního součtu.

$$y_i = y_{0i} + \sum_{j=0}^{i-1} f_{i-j} \Delta u_j \quad (3.1-1)$$

kde je

$y_i$  hodnota regulované veličiny v i-tém kroku regulačního pochodu

$\Delta u_j$  akční zásah v j-tém kroku regulačního pochodu

$f_{i-j}$  hodnota (i - j) -té pořadnice přechodové charakteristiky regulované soustavy při vstupu akční veličiny

$y_{0i}$  odezva regulované soustavy na determinovanou poruchu v i-tém kroku regulačního pochodu.

Pro vyrovnaní determinované poruchy v konečném počtu kroků je třeba  $m = n + 1$  akčních zásahů / Obr. 3-4 /

n řád soustavy

Pro hodnotu regulované veličiny v k-tém kroku regulačního pochodu tedy platí

$$y_k = 0 \quad \text{pro } k \geq n+1 \quad (3.1-2)$$

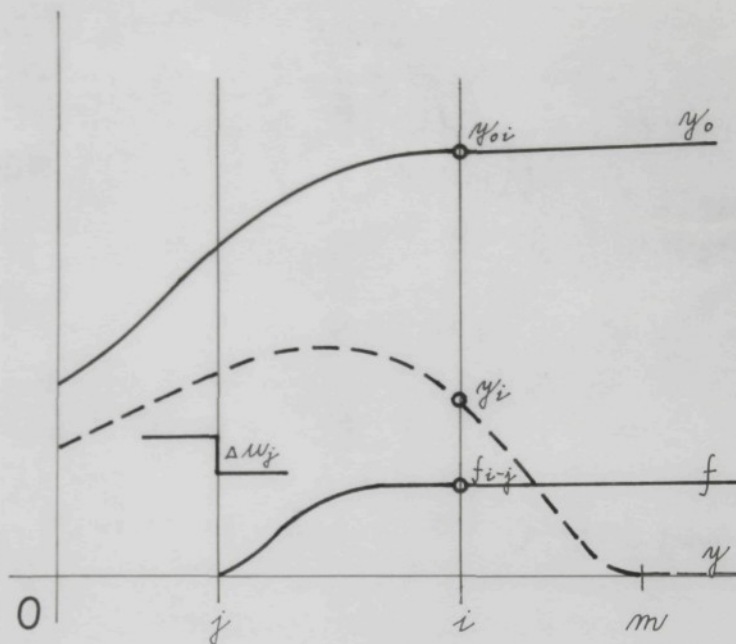
Pro popis algoritmu můžeme použít m rovnic, dostáváme

$$y_m = y_{0m} + f_{m-1} \Delta u_1 + f_{m-2} \Delta u_2 + \dots + f_1 \Delta u_n$$

$$y_{m+1} = y_{0m+1} + f_m \Delta u_1 + f_{m-1} \Delta u_2 + \dots + f_2 \Delta u_n$$

$$y_{2m-1} = y_{02m-1} + f_{2m-2} \Delta u_1 + \dots + f_m \Delta u_n$$

(3.1-3)



Obr.3 -4 : VYROVNÁNÍ V KONEČNÉM POČTU REGULAČNÍCH  
KROKU

$y_o$  odezva soustavy na determinovanou poruchu

$f$  odezva soustavy na jednotkový akční zásah

$\Delta u$  akční zásah

$y$  výstup ze soustavy

$j, i, m$  kroky

Pokud je soustava vyregulována, položíme pravou stranu rovnic (3.1-3) rovnou nule, v souladu s (3.1-2).

$$\begin{bmatrix} y_m \\ y_{m+1} \\ \vdots \\ y_{2m-1} \end{bmatrix} = 0$$

Upravou rovnic (3.1-3) dostáváme obecnou soustavu podmínkových rovnic

$$\begin{aligned} -y_{0m} &= f_{m-1} \Delta u_1 + f_{m-2} \Delta u_2 + \dots + f_1 \Delta u_n \\ -y_{0m+1} &= f_m \Delta u_1 + f_{m-1} \Delta u_2 + \dots + f_2 \Delta u_n \\ \vdots &\vdots \\ -y_{02m-1} &= f_{2m-2} \Delta u_1 + \dots + f_m \Delta u_n \end{aligned} \quad (3.1-4)$$

Tuto soustavu řešíme iteračně Kaczmarzovým algoritmem podle vzorce (2.2-12).

### Analýza výsledků

Byly analyzovány výsledky výpočtů optimálních akčních zásahů vyrovnávajících determinovanou poruchu  $d$  ve tvaru jednotkového skoku na vstupu do regulované soustavy / Obr. 3-1 /.

Řešení bylo provedeno pro soustavu 0. - 5. řádu, která má přenos

$$S(p) = \frac{1}{(Tp+1)^n}$$

kde je

$n$  řád soustavy

$T$  časová konstanta / volena ve všech případech  $T = 1$  /

Soustava určena hodnotami přechodové charakteristiky. Přesné hodnoty přechodových charakteristik byly zadány z tabulek uvedených v / 5 /.

Počáteční odhad iteračního postupu volen ve všech případech jednotně

$$\Delta \underline{w}(0) = \underline{0}$$

V následující tabulce / Tab. I / je uveden číselný přehled podmínkových rovnic, které mají být pro jednotlivé soustavy splněny. Obecné odvození podmínkových rovnic dáno vztahem (3.1-4).

P O D M Ě N K O V Ě R O V N I C E

MATICE PRAVÝCH STRAN

řS	PP	Čp	VEKTOR	$\Delta \mathcal{M}_1$	$\Delta \mathcal{M}_2$	$\Delta \mathcal{M}_3$	$\Delta \mathcal{M}_4$	$\Delta \mathcal{M}_5$	$\Delta \mathcal{M}_6$
0	1	1*	-0.9999996	0.9999996					
1	2	1*	-0.8646645	0.6321203	0.				
		2*	-0.9502125	0.8646645	0.6321203				
2	3	1*	-0.8008499	0.5939895	0.2642398	0.			
		2*	-0.9084194	0.8008499	0.5939895	0.2642398			
		3*	-0.9595688	0.9084194	0.8008499	0.5939895			
		4*	-0.7618959	0.5768005	0.3233233	0.0803014	0.		
3	4	2*	-0.8753479	0.7618959	0.5768005	0.3233233	0.0803014		
		3*	-0.9380310	0.8753479	0.7618959	0.5768005	0.3233233		
		4*	-0.9703636	0.9380310	0.8753479	0.7618959	0.5768005		
		5*	-0.7149429	0.5595064	0.3711628	0.1847366	0.0526530	0.0365984	0.
		6*	-0.8270084	0.7149429	0.5595064	0.3711628	0.1847366	0.0526530	0.0365984
5	6	3*	-0.9003674	0.8270084	0.7149429	0.5595064	0.3711628	0.1847366	0.0526530
		4*	-0.9450363	0.9003674	0.8270084	0.7149429	0.5595064	0.3711628	0.1847366
		5*	-0.9707474	0.9450363	0.9003674	0.8270084	0.7149429	0.5595064	0.3711628
		6*	-0.9848953	0.9707474	0.9450363	0.9003674	0.8270084	0.7149429	0.5595064

Tab. I: Podmínkové rovnice pro výpočet akčních zásahů v min. počtu kroků

K porovnání výsledků Kaczmarzova algoritmu byl sestaven program řešící rovněž výpočet optimálních akčních zásahů v minimálním počtu regulačních kroků, ale odlišnou metodou. Tato metoda přímého výpočtu nyla navržena s. Hanouskem v práci /5/.

Pro jednotlivé řady soustav / 0. - 5. / bylo zkoumáno, jak dosažené hodnoty akčních zásahů vyhovují podmínkovým rovnicím. Získané hodnoty akčních zásahů byly tedy dosazeny zpět do podmínkových rovnic / matice pravých stran / a porovnáním vektorů levých stran byla zjištěna chyba výpočtu. Totéž bylo provedeno s výsledky obou metod- Kaczmarzovy i přímé.

Řešení spolu se stanovením chyb jsou zaznamenána v tabulce.  
/ Tab.II /

Fro případ soustav 3. a 5. řádu Kaczmarzův algoritmus konverguje již veřími pomalu, v tabulce / Tab.II / jsou uvedeny hodnoty získané při 30 000 iteracích. Tyto hodnoty ještě nejsou ustálené , tedy jsou značně nepřesné.

Ustálením hodnot rozumíme jejich neměnnost v následných iteračních krocích nebo jejich periodickou změnu do řádu  $10^{-5}$ . Závislost průměrné chyby splnění podmínkových rovnic na řádu soustavy / resp. počtu neznámých parametrů / je vynesena v grafu / Obr. 3-5 /.

Lze též pozorovat závislost počtu potřebných iterací na řádu soustavy / počtu podmínkových rovnic /.

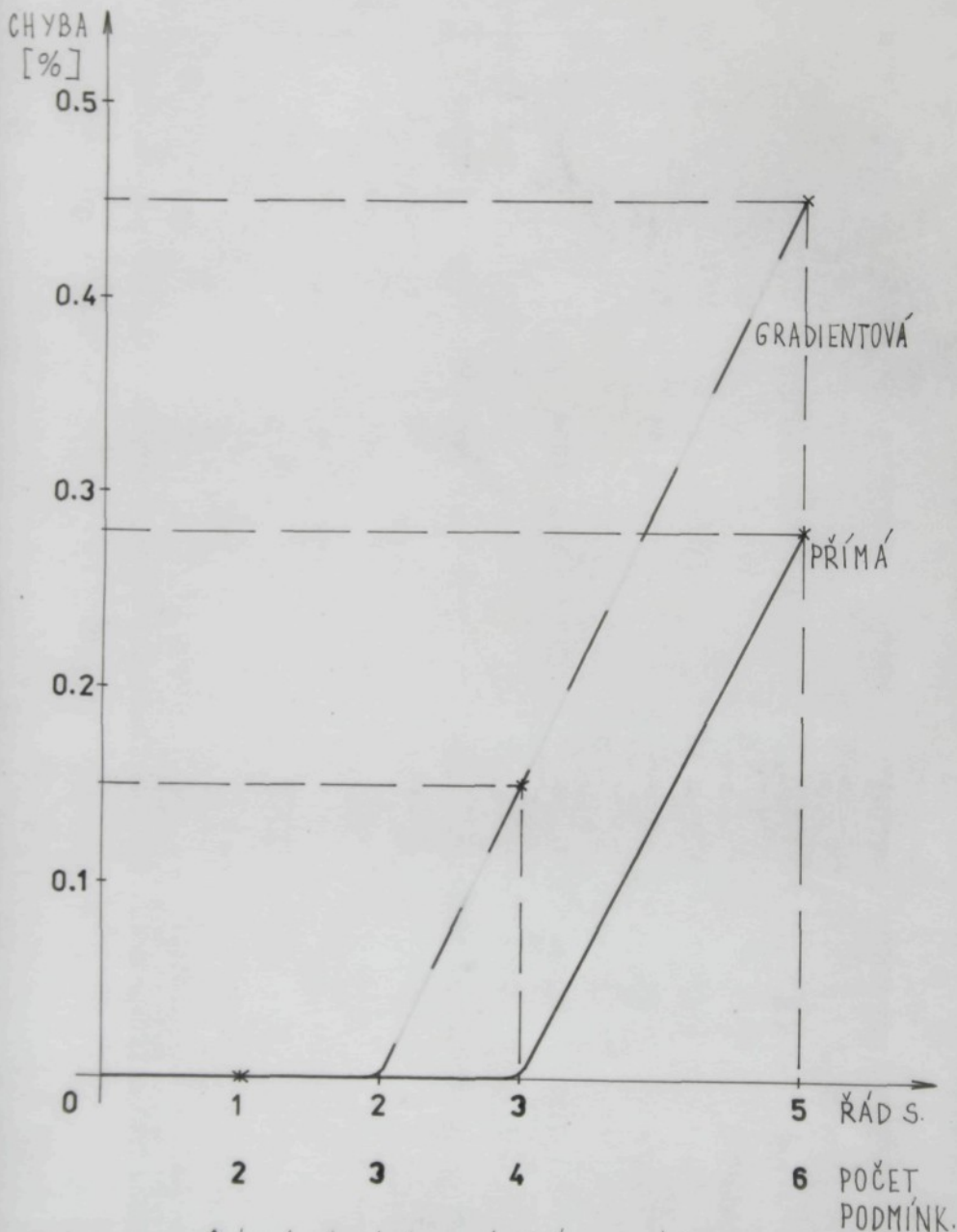
V tabulce / Tab. III / je uvedeno pro každou soustavu, kolik je třeba iterací na dosažení přesnosti výsledku  $\varepsilon = 0.001$ . Přesnost  $\varepsilon$  je chápána jako odchylka výsledku od již ustálené hodnoty.

$$\underline{\varepsilon} = |\Delta \underline{w} - \Delta \hat{\underline{w}}|$$

kde je  $\Delta \hat{\underline{w}}$  výsledek (odhad),  $\Delta \underline{w}$  ustálená hodnota

řS	PP	PI	čP	ŘEŠENÍ KACZMAROVÝM ALGORITMEM				ŘEŠENÍ PŘÍMOU METODOU		
				HODNOTY AKČ. ZÁSAHU <sup>0</sup>	ABSOLUTNÍ CHYBA • 10 <sup>2</sup>	PRŮMĚRNÁ CHYBA • 10 <sup>2</sup>	HODNOTY AKČ. ZÁSAHU <sup>0</sup>	ABSOLUTNÍ CHYBA • 10 <sup>2</sup>	PRŮMĚRNÁ CHYBA • 10 <sup>2</sup>	
0	1	1.	1.	-0.9999996	0.00004	0.00004	-1.3678790	0.00005	—	
1	2	70	1.	-1.3678790	0.00005	0.00003	0.3678793	0.	0.000025	
2	3	11100	2.	0.3678794	0.00001		-1.7357850	0.00055		
			1.	-1.7357850	0.00005	0.00011	0.8710938	0.00026	0.000280	
			3.	0.8711403	0.00022		-0.1353352	0.0003		
			3.	-0.1353564	0.00005		-2.1036380	0.00180		
			40000 bez. uzd/a: n/	1.	-1.4391410	0.03803				
			4.	0.0465801	0.22894	0.15395	1.5096440	0.00120	0.00083	
			3.	0.6665041	0.34873		-0.4557926	0.00030		
			4.	-0.2929686	0.00008		0.0497870	0.0003		
			40000 bez. uzd/a: n/	1.	-1.4866850	1.62155		-2.8393970	0.09539	
			2.	-0.0289712	0.46422		3.1927480	0.02709		
			3.	0.6488302	0.09074	0.45547	-1.8512230	0.07122	0.28296	
			4.	0.1941592	0.05190		0.5894485	0.24891		
			5.	-0.5104450	0.02816		-0.0983160	0.50119		
			6.	0.1892064	0.47328		-0.0067379	0.75399		

Tab. II: Porovnaní metod



Obr. 3-5 : Závislost chyby splnění podmínek rovnic na řádu soustavy.

ŘS	PP	ČP	POTŘEBNÝ POČET ITERACÍ NA DOSAŽENÍ PŘESNOSTI $\varepsilon = 0.001$
0	1	1.	1
1	2	1. 2.	1 28
2	3	1. 2. 3.	6600 7500 6900
3	4	1. 2. 3. 4.	odhad ~ 900000 odhad ~ 900000 odhad ~ 900000 odhad ~ 900000
5	6	1.-6.	nelze stanovit odhadem

Tab. III: Závislost počtu iterací na počtu podmínkových rovnic

## b/ Kvadratické kriterium

Postup výpočtu akčních zásahů pomocí kvadratického kriteria je odvozen v / kap. 2.2. / této práce. Vzorce (2.2-10) a (2.2-11) popisují sestavení vektoru levých a matice pravých stran podmínkových rovnic. K výpočtu je opět použito Kaczmarzova iteračního algoritmu, popsaného vztahem (2.2-12).

Také hodnoty přechodových charakteristik jsou voleny stejně jako u algoritmu v minimálním počtu kroků.

Volbou konstanty  $p=0.0$ , což je váhový koeficient v kvadratickém kritériu

$$J = \sum_{i=1}^N (\underline{y}_i^2 + p \Delta \underline{u}_{i-1}^2) \rightarrow \min$$

neklademe na akční zásahy žádné omezení. Hodnoty akčních zásahů by měly tedy přibližně odpovídat hodnotám akčních zásahů stanoveným v minimálním počtu kroků / pokud  $p=0.0$  /. Že tomu tak je, se přesvědčíme porovnáním hodnot, které jsou z výsledků programu vyneseny do tabulky / Tab.IV /.

Číselné vyjádření podmínkových rovnic je uvedeno v následujících tabulkách / Tab.V, VI /.

ŘS	PP	PI	ČP	HODNOTY AKČNÍCH ZÁSAHU		
				ŘEŠENÍ KACZMARZOVÝM ALGORITMEM		ŘEŠENÍ PŘÍMOU METODOU
				B	A	B
0	5	3000	1.	-0.992188	-0.999999	—
			2.	-0.011043	0.	—
			3.	0.003671	0.	—
			4.	-0.000451	0.	—
			5.	0.000013	0.	—
1	3	9000	1.	-1.367874	-1.367879	-1.367872
			2.	0.367872	0.367879	0.367864
			3.	0.000003	0.	-0.000012
2	5	30000	1.	-1.502574	-1.735785	-2.248239
			2.	0.265880	0.871140	2.023522
			3.	0.396932	-0.135356	-1.173715
			4.	-0.124999	0.	0.602337
			5.	-0.098350	0.	-0.310491

Tab. IV

Význam symbolů: ŘS ... řád soustavy

PP ... počet podmínkových rovnic

PI ... počet iterací

ČP ... číslo podmínkové rovnice

A .... algoritmus - minimální počet kroků

B .... kvadratické kritérium / p = 0. /

řS	PP	ČP	VEKTOR	PODMÍNKOVÉ ROVNICE				
				LS	$\Delta \mathcal{M}_1$	$\Delta \mathcal{M}_2$	$\Delta \mathcal{M}_3$	$\Delta \mathcal{M}_4$
0	5	.	1.	-4.9999980	4.9999980	3.9999980	2.9999920	1.9999992
			2.	-3.9999980	3.9999980	3.9999980	2.9999920	1.9999992
			3.	-2.9999992	2.9999992	2.9999992	2.9999992	1.9999992
			4.	-1.9999996	1.9999992	1.9999992	1.9999992	1.9999992
			5.	-0.9999996	0.9999996	0.9999996	0.9999996	0.9999996
1	3	.	1.	-2.3009967	2.0501251	1.3681879	0.6006488	
			2.	-1.4494768	1.3681879	1.1472210	0.5465721	
			3.	-0.6205423	0.6006488	0.5465721	0.3995761	
			4.	-3.1747999	2.8100376	2.2318782	1.5196943	0.8100238
			5.	-2.4123601	2.2318782	1.8892578	1.3601760	0.7512187
2	5	.	1.	-1.5969800	1.5196943	1.3601760	1.0640163	0.3626591
			2.	-0.8372455	0.8100238	0.7512187	0.6326591	0.4226522
			3.	-0.2596511	0.2535585	0.2400440	0.2116180	0.1569576
			4.					0.0698233
			5.					

Tab. V: Podmínkové rovnice pro výpočet akc. zásahu podle kvadrat. kritéria  
(Iterační výpočet)

KS	PP	ČP	VEKTOR	PODMLINKOVÉ ROVNICE				
				LS	$\Delta \mu_1$	$\Delta \mu_2$	$\Delta \mu_3$	$\Delta \mu_4$
1	3	1.	-2.3003967	2.0501251	1.3681879	0.6006488		
		2.	-1.4494768	1.3681879	1.1472210	0.5465721		
		3.	-0.6205423	0.6006488	0.5465721	0.3995761		
		1.	-4.2668647	4.0003967	3.2760658	2.3932867	1.4793811	0.6278608
		2.	-3.3725366	3.2760658	3.0138282	2.3009967	1.4494768	0.6205423
1	5	1.	-2.4272384	2.3932867	2.3009967	2.0501251	1.3681879	0.6006488
		2.	-1.4903821	1.4793811	1.4494768	1.3681879	1.1472210	0.5465721
		3.	-0.6305534	0.6278608	0.6205423	0.6006488	0.5465721	0.3995761

Tab. VI: Podmínkové rovnice pro výpočet akč. zásahů podle kladnat. kritériia  
(Iterační výpočet)

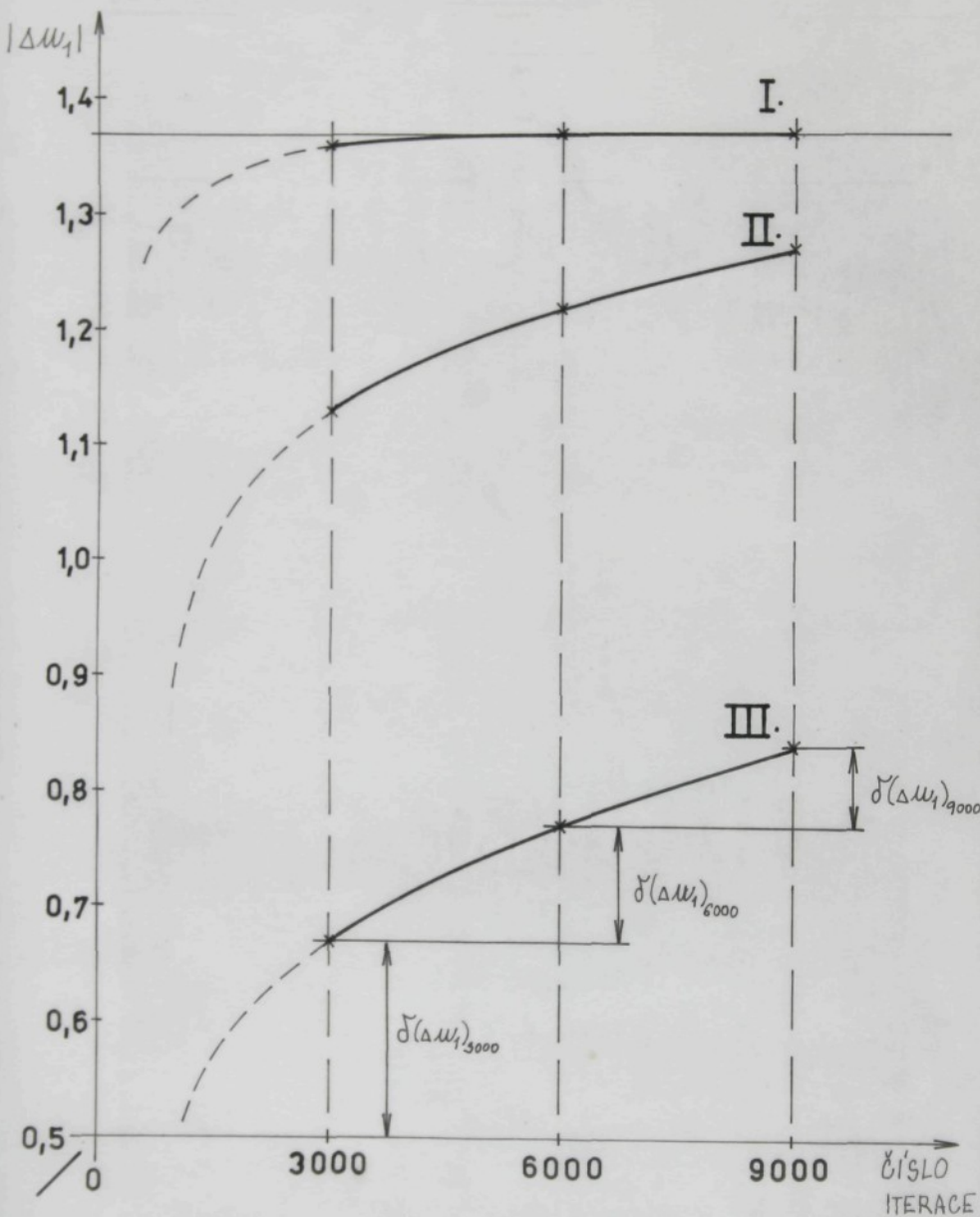
### Analýz výsledků

Proveďme nyní podrobnější analýzu dosažených výsledků. Ukazuje se, že přesnost výpočtu / resp. rychlos konvergence iteračního postupu / je také závislá na počtu podmínkových rovnic / resp. neznámých parametrů /. Ověření bylo provedeno na soustavě 1. řádu. Postupně byl snižován počet podmínkových rovnic /  $PP = 10, 5, 3 /$ . Výsledky a grafické znázornění jsou uvedeny v tabulce a grafu / Tab. VII, Obr. 3-6 /.

Pro soustavu 2. řádu byl zvolen počáteční počet podmínkových rovnic - 10; při zjištění nedostatečné přesnosti výsledků, byl tento počet snížen na 5. Ale výpočet ani po 30 000 iteracích / při 5ti neznámých parametrech / nedává ještě ustálené nebo předpokládané hodnoty / viz příloha 3 - výsledky programu AKC /.

SOUSTAVA 1. ŘÁDU	PP	HOENOTY AKČNÍCH ZÁSAHU			PŘERUSTEK ZA 3 000 ITERACÍ		
		$\Delta u_1$	$\Delta u_2$	$\Delta u_3$	$ d(\Delta u_1) $	$ d(\Delta u_2) $	$ d(\Delta u_3) $
3 000	3	-1.3644016	0.361576	0.002827	1.364016	0.361576	0.002827
	5	-1.127681	-0.018801	0.149455	1.127681	0.018801	0.149455
	10	-0.672521	-0.323699	-0.083862	0.672521	0.323699	0.083862
6 000	3	-1.367840	0.3677816	0.000029	0.003824	0.006240	0.002798
	5	-1.223077	0.113542	0.133166	0.095396	0.094741	0.130339
	10	-0.773876	-0.298565	-0.023626	0.101355	0.025134	0.060236
9 000	3	-1.367874	0.3677872	0.000003	0.000034	0.000056	0.000026
	5	-1.270675	0.188379	0.107584	0.047598	0.074837	0.0255582
	10	-0.835871	-0.272109	0.014792	0.061995	0.026456	0.008834

Tab. VII: Závislost rychlosti konvergence na počtu podmírkových rovinic



obr. 3-6: Graf závislosti rychlosti konvergence  
na počtu podmínkových rovnic  
krivky I-3, II-5, III-10 podmínkových rovnic

## 3.2. Výpočet koeficientů algoritmu řízení

Kaczmarzův algoritmus lze použít i pro výpočet koeficientů algoritmu řízení, jak je odvozeno v kap.2.2. této práce.

K výpočtu využíváme stále stejného iteračního vzorce

$$\hat{\underline{a}}(k) = \hat{\underline{a}}(k-1) + \mathcal{H}_k \frac{\Delta \underline{w}(k^*) - \hat{\underline{a}}^T(k-1) \underline{w}(k^*)}{\underline{w}^T(k^*) \cdot \underline{w}(k^*)}$$

kde je

$\hat{\underline{a}}(k)$  odhad vektoru koeficientů algoritmu řízení v k-tém iteračním kroku

$\hat{\underline{a}}(k-1)$  odhad vektoru koeficientů algoritmu řízení v k-1 iteračním kroku

$\mathcal{H}_k$  koeficient konvergence / voleno stále  $\mathcal{H}_k=1$  /

$\Delta \underline{w}$  akční zásah příslušející vektoru levých stran podmínkových rovnic

$k^*$  číslo podmínkové rovnice

$\underline{w}(k^*)$  vektor z matice pravých stran podmínkových rovnic.

Máme zadánu jednoparametrovou soustavu, přenos soustavy jako v předchozích případech

$$S(p) = \frac{1}{(Tp+1)^n}$$

$n$  řád soustavy / voleno  $n=1,2,3,5$  /

Známe hodnoty přechodových charakteristik / z tabulek práce /5/, a tvar poruchy.

Pro výpočet koeficientů algoritmu řízení bylo použito algoritmu na vyrovnání těchto poruch:

1/ - vyrovnání determinované poruchy ve tvaru jednotkového skoku na vstupu do regulované soustavy, před započetím regulace

A- algoritmus řízení v minimálním počtu regulačních kroků / volen u soustav 1,2, řádu /.

B- algoritmus podle kvadratického kriteria jakosti regula-  
ce

/ volen u soustav 1,2 řádu /.

2/ - vyrovnání skokové změny žádané hodnoty podle kvadratic-  
kého kriteria jakosti regulace

/ volen u soustav 3,5 řádu /.

Před výpočtem koeficientů algoritmu řízení byla provedena simulace optimálního průběhu regulované veličiny . Vycháze-  
lo se ze znalosti konvolutorního součtu (3.1-1), typu a mís-  
ta vstupu poruchy , z vypočtených hodnot akčních zásahů  
/ kap.3.1. , schema- Obr.3-2 /

Simulací byl určen optimální průběh regulované veličiny .  
Kaczmarzovým algoritmem byly pak vypočteny hodnoty koeficien-  
tů algoritmu řízení / viz schema- Obr.3-3 /.

#### A n a l ý z a v ý s l e d k ú

1/ - vyrovnání determinované poruchy ve tvaru jednotkového skoku na vstupu do regulované soustavy, před započetím regulace

Při praktickém ověřování se ukázalo nejvhodnější volit počet podmínkových rovnic Kaczmarzova algoritmu roven počtu nezná-  
mých koeficientů. Nadbytečný počet rovnic, které mají být splněny s týmiž koeficienty, zanáší do Kaczmarzova algoritmu nepřesnosti a zhoršuje výpočet / příloha 5 -výsledky progra-  
mu RR /.

Př. podmínkové rovnice pro soustavy 1. a 2. řádu mají tvar:

/ algoritmy A, B /

$$\Delta u(j) = \alpha_1 y(j) + \alpha_2 y(j-1) + \alpha_3 \Delta w(j-1)$$

$$\Delta u(j) = \alpha_1 y(j) + \alpha_2 y(j-1) + \alpha_3 y(j-2) + \alpha_4 \Delta w(j-1) + \alpha_5 \Delta w(j-2)$$

Číselné vyjádření podmínkových rovnic pro vyrovnání poruchy 1 podle A, B a pro jednotlivé řady soustav, je v následujících tabulkách / Tab. VIII, IX /.

Bylo ověřováno, jak vypočtené hodnoty koeficientů algoritmu řízení vyhovují podmínkovým rovnicím.

Porovnání algoritmů 1A, 1B nalezneme v tabulce / Tab. X /.

V / Tab. X / je uveden též počet potřebných iterací k dosažení ustálených hodnot iteračního postupu. U soustavy 2. řádu / pouze u algoritmu 1B / jsou uvedeny hodnoty při 20 000 iteracích, které ještě nejsou ustálené ani přesné. Pojem ustálení chápeme ve smyslu definice uvedené v předcházející kapitole / kap. 3.1. / .

řS	PP	ČP	ALGORITMUS 1. A					
			PODMÍNKOVÉ ROVNICE			MATICE PRAVÝCH STRAN		
	VEKTOR	LS	$a_1$	$a_2$	$a_3$	$a_4$	$a_5$	
1	1.	-1.3678784	0.6321203	0.	0.			
	2.	0.3678789	0.0000002	0.6321203	-1.3678784			
	3.	0.	0.	0.0000002	0.3678789			
2	1.	-1.7357574	0.2642409	0.	0.	0.	0.	
	2.	0.8710941	0.1353351	0.2642409	0.	-1.7357574	0.	
	3.	-0.1353351	0.0000011	0.1353351	0.2642409	0.8710941	-1.7357574	
	4.	0.	-0.0000002	0.0000011	0.1353351	-0.1353351	0.8710941	
	5.	0.	0.0000014	-0.0000002	0.0000011	0.	-0.1353351	

Tab. VII. Podmínkové rovnice pro výpočet koeficientů algoritmu řízení podle 1A  
(Iterační výpočet)

řS	PP	ČP	ALGORITMUS 1 B					
			PODMÍNKOVÉ ROVNICE			MATICE PRAVÍCH STRAN		
LS	VEKTOR	$a_1$	$a_2$	$a_3$	$a_4$	$a_5$		
		1.	-1.3678720	0.6321203	0.	0.		
1	3	2.	0.3678637	0.0000045	0.6321203	-1.3678720		
		3.	-0.0000124	-0.0000038	0.0000045	0.3678636		
2	1.	-2.2482390	0.2642409	0.	0.	0.	0.	
	2.	2.0235200	-0.0000832	0.2642409	0.	-2.2482390	0.	
2	3.	-1.1737140	0.0001087	-0.0000832	0.2642409	2.0235200	-2.2482390	
	4.	0.6023378	-0.0002689	0.0001087	-0.0000832	-1.1737140	2.0235200	
	5.	-0.3104913	-0.0002524	-0.0002689	0.0001087	0.6023378	-1.1737140	

Tab. IX: Podmínkové rovnice pro výpočet koeficientů algoritmu řízení podle 1B  
(Iterační výpočet)

řS	PP	PI	ČP	ŘEŠENÍ - ALGORITMUS 1A			ŘEŠENÍ - ALGORITMUS 1B		
				HODNOTY KOEFICIENTU <sup>o</sup>	ABSOLUTNÍ CHYBA • 10 <sup>6</sup>	PRUMĚRNÁ CHYBA • 10 <sup>6</sup>	HODNOTY KOEFICIENTU <sup>o</sup>	ABSOLUTNÍ CHYBA • 10 <sup>6</sup>	PRUMĚRNÁ CHYBA • 10 <sup>6</sup>
1	3	200	1.	-2.163951	0.700		-2.163940	1.600	
			2.	0.581975	0.460	0.430	0.581829	0.480	0.720
			3.	-0.000001	0.116		-0.000063	0.081	
2	5	10000 1B	1.	-6.568840	0.900		-8.508278	4.0	
			2.	3.295669	4.310		0.872597	1210000.0	
			3.	-0.511765	7.810	4.327	0.461606	3700.0	
			4.	-0.512303	8.250		-0.796127	46000.0	251940.9
			5.	-0.000079	0.367		-0.142353	0.7	

T a b. X: Porovnání algoritmů

Rozbor výsledků algoritmu 1B na soustavě 2. řádu

Jak již bylo uvedeno při výpočtu koeficientů algoritmu řízení na soustavě 2. řádu, algoritmem vyrovnávajícím determinovanou poruchu na vstupu do regulované soustavy podle kvadratického kritéria / 1B /, nedošlo s výjimkou prvního koeficientu k ustálení výsledků ani po 20 000 iteracích. Proto byly tyto koeficienty stanoveny odhadem, ze zjištěné skutečnosti, že hodnoty koeficientů algoritmu, získané v jednotlivých iteračních krocích, tvoří geometrickou řadu s kvocientem  $q$ . Výpočet odhadu je proveden v následujících tabulkách / Tab. XI, XII /. Byl použit vzorec pro součet geometrické řady

$$S_k = a_0 \cdot \frac{1-q^k}{1-q}$$

kde

$$\lim_{k \rightarrow \infty} q^k = 0 \Rightarrow \lim_{k \rightarrow \infty} S_k = S = \frac{a_0}{1-q}$$

$a_0$  první člen geometrické řady

$q$  kvocient geometrické řady

$S$  součet geometrické řady

Koeficient algoritmu  $a_1 = -8.508278$  je již od prvního iteračního kroku ustálený, a proto v Tab. XI není uveden. Podmínkové rovnice vycházejí ze znalosti struktury algoritmu řízení:

$$\Delta u(j) = a_1 y(j) + a_2 y(j-1) + a_3 y(j-2) + a_4 \Delta u(j-1) + a_5 \Delta u(j-2)$$

Odhad koeficientů algoritmu řízení je porovnán se skutečnými hodnotami koeficientů algoritmu řízení, dosaženými po 20 000 iteracích. Porovnání je provedeno z hlediska toho, jak hodnoty koeficientů vyhovují podmínkovým rovnicím. Z Tab. XIII je zřejmé, že chyba výpočtu Kaczmarzovým algoritmem při 20 000 iteracích je značná oproti chybě s vypočteným odhadem.

ODHAD		ALGORITMUS 1B		soustava 2. řádu	
	KOEFICIENTU	$\alpha_2$	$\alpha_2$	$\alpha_3$	$\alpha_3$
ALGORITMU	HO DMOTA	ROZDÍL $\frac{\mu_i - \mu_{i-1}}{1000}$	HO DMOTA	ROZDÍL $\frac{\mu_i - \mu_{i-1}}{1000}$	HO DMOTA
ŘÍZENÍ	KOEFICIENTU	$q = \frac{\delta \alpha_{2i}}{\delta \alpha_{2i-1}}$	KOEFICIENTU	$q = \frac{\delta \alpha_{3i}}{\delta \alpha_{3i-1}}$	KOEFICIENTU
i	čí	$\alpha_2 = \alpha_{2i} - \alpha_{2i-1}$	$\alpha_2 = \alpha_{2i} - \alpha_{2i-1}$	$\alpha_3 = \alpha_{3i} - \alpha_{3i-1}$	$q = \frac{\delta \alpha_{3i}}{\delta \alpha_{3i-1}}$
1.	16 000	0.7714115		0.5013411	
2.	17 000	0.7970436	0.0256321	0.4912706	-0.0100705
3.	18 000	0.8224430	0.0253994	0.4812963	-0.0099743
4.	19 000	0.8476257	0.0251827	0.4714100	-0.0098863
5.	20 000	0.8725971	0.0249714	0.4616062	-0.0098038
					0.99166
$\alpha + \frac{\delta}{1-q}$		0.8725971 + $\frac{0.0249714}{0.0083907}$		0.4616062 - $\frac{0.0098038}{0.0083449}$	
ODHAD	KOEFICIENTU	3.84863			-0.71322

Tab. XI: Odhad koeficientů algoritmu řízení

ODHAD KOEFICIENTU ALGORITMU ŘÍZENÍ		ALGORITMUS 1B		soustava 2. řádu	
i	čí	$a_4$	$a_4$	$a_5$	$a_5$
1.	16 000	-0.8079834	$\delta a_{4i} = a_{4i} - a_{4i-1}$	$q = \frac{\delta a_{4i}}{\delta a_{4i-1}}$	$q = \frac{\delta a_{5i}}{\delta a_{5i-1}}$
2.	17 000	-0.8049797	0.0030037	-0.1484114	-0.1468769
3.	18 000	-0.8020039	0.0029758	0.99071	0.0015345
4.	19 000	-0.7990534	0.0029505	0.99149	0.0015206
5.	20 000	-0.7961277	0.0029257	0.99159	0.0015074
$a + \frac{\delta}{1-q}$		-0.7961277	+ $\frac{0.0029257}{0.0084054}$	-0.1423539	+ $\frac{0.0014950}{0.0082261}$
ODHAD KOEFICIENTU		-0.44805		0.033939	

Tab. XII: Odhad koeficientů algoritmu řízení

			ALGORITMUS 1B				
řS	FP	čP	ŘEŠENÍ S ODHADEM		ŘEŠENÍ PO 20 000 ITERACIACH		
			HODNOTY KOEFICIENTU	ABSOLUTNÍ CHYBA • 10 <sup>-3</sup>	PRUMĚRNÁ CHYBA • 10 <sup>-3</sup>	HOODNOTY KOEFICIENTU	ABSOLUTNÍ CHYBA • 10 <sup>-3</sup>
2	5	1.	-8.5082780	0.004		-8.5082780	0.004
		2.	3.8486300	1.480		0.8725971	1210.0
		3.	-0.7132188	11.0	4.59	0.4616062	3.7
		4.	-0.4480537	5.9		-0.7961277	46.0
		5.	0.0393869	4.58		-0.1423539	0.0007

Tab. XIII Porovnání skutečných hodnot koeficientů algoritmu řízení po 20 000 iteracích s jejich odhadem.

2/ - vyrovnání skokové změny žádané hodnoty podle kvadratického kritéria jakosti regulace.

Pro soustavy 3. a 5. řádu jsou koeficienty algoritmu řízení vypočítávány Kaczmarzovým algoritmem pro vyrovnání skokové změny žádané hodnoty.

Hodnoty akčních zásahů i hodnoty optimálního průběhu regulované veličiny jsou do Kaczmarzova algoritmu dosazeny ve tvaru vstupních dat z výsledků programu DEP, který používá kvadratického kritéria jakosti regulace a přímého výpočtu s inverzí matic. / Popis programu DEP / 6 / , odvození metody přímého výpočtu podle kvadratického kritéria / 4 / .

Podmínkové rovnice Kaczmarzova algoritmu jsou uvedeny v Tab. XIV pro soustavu 3. řádu. Pro soustavu 5. řádu nejsou již podmínkové rovnice pro velký rozsah uvedeny v tabulce, nalezneme je v příloze(5).

Podmínkové rovnice vycházejí opět ze znalosti struktury algoritmu řízení.

Pro soustavu 3. řádu:

$$\Delta u(j) = a_1 y'(j) + a_2 y'(j-1) + a_3 y'(j-2) + a_4 y'(j-3) + \\ + a_5 \Delta u(j-1) + a_6 \Delta u(j-2) + a_7 \Delta u(j-3)$$

Pro soustavu 5. řádu:

$$\Delta u(j) = a_1 y'(j) + a_2 y'(j-1) + a_3 y'(j-2) + a_4 y'(j-3) + \\ + a_5 y'(j-4) + a_6 y'(j-5) + a_7 \Delta u(j-1) + a_8 \Delta u(j-2) + \\ + a_9 \Delta u(j-3) + a_{10} \Delta u(j-4) + a_{11} \Delta u(j-5)$$

$$y'(j-k) = y(j-k) - w(j) \quad k=0, \dots, n$$

řs	pp	čp	ALGORITMUS 2						
			PODMÍNKOVÉ ROVNICE						
	VEKTOR	LS	$a_1$	$a_2$	$a_3$	$a_4$	$a_5$	$a_6$	$a_7$
3	7	1.	-1.71377	0.99999	0.99999	0.99999	0.99999	0.	0.
		2.	0.14025	0.86238	0.99999	0.99999	-1.71377	0.	0.
		3.	0.45806	0.45716	0.86238	0.99999	0.99999	0.14025	-1.71377
		4.	0.21456	-0.09361	0.45716	0.86238	0.99999	0.45806	0.14025
		5.	-0.00517	-0.05948	-0.09361	0.45716	0.86238	0.21456	0.45806
		6.	-0.04868	-0.06011	-0.05948	-0.09361	0.45716	-0.00517	0.21456
		7.	-0.03809	-0.01892	-0.06011	-0.05948	-0.09361	-0.04868	-0.00517

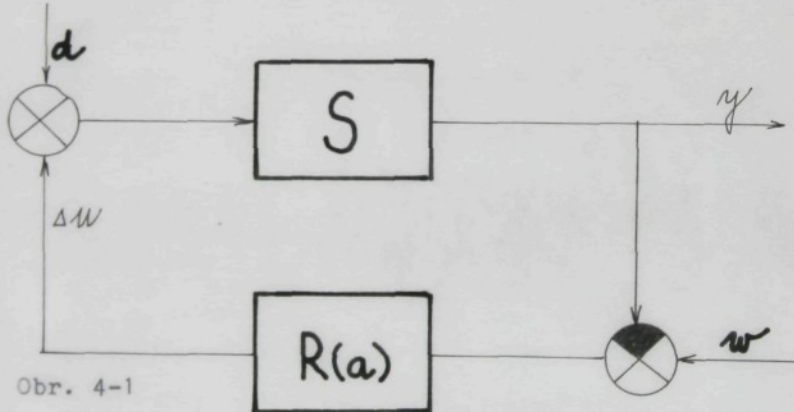
Tab.XIV: Podmínkové rovnice pro výpočet koeficientů algoritmu řízení podle  $\lambda$   
(Iterační výpočet)

#### 4. Ověření vypočtených algoritmů simulací regulačních pochodů

Byla provedena simulace regulačních pochodů při zapojeném regulátoru pro následující algoritmy:

- 1/ - vyrovnání determinované poruchy ve tvaru jednotkového skoku na vstupu do regulované soustavy, před započetím regulace.
- A- algoritmus řízení v minimálním počtu regulačních kroků
- B- algoritmus podle kvadratického kritéria jakosti regulace
- 2/ - vyrovnání skokové změny žádané hodnoty podle kvadratického kritéria jakosti regulace

Schema postupu je následující



Obr. 4-1

Známe:  $d, w$  ... determinovaná porucha / určena tvarem a místem vstupu /

$S$  ... soustava určena hodnotami přechodové charakteristiky

$R(a)$  ... algoritmus řízení vypočtený podle / kap. 3.2. /

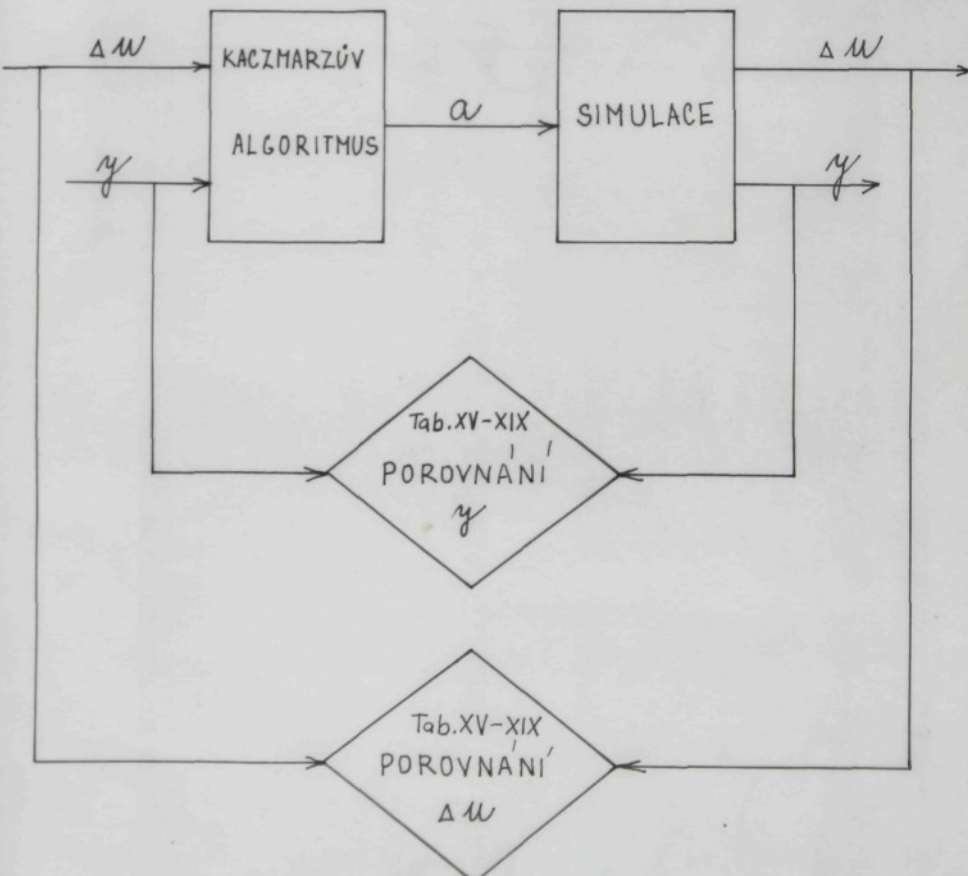
Určíme:  $y$  ... optimální průběh regulované veličiny / simulaci /

$\Delta u$  ... optimální akční zásahy / simulaci /

## Analýza výsledků

## 1/ Algoritmy 1A, 1B

Porovnání hodnot akčních zásahů  $\Delta W$  a optimálního výstupu ze soustavy  $\gamma$ , tak jak byly získány simulací regulačních pochodu pro soustavy řízené vypočteným algoritmem řízení podle Kaczmarzova algoritmu, s hodnotami výchozími, je v následujících tабulkách / Tab. XV - XIX/. Pro snazší orientaci v tabulkách je uvedeno schema postupu porovnání:



POROVNÁNÍ VÝCHOZÍCH A SIMULOVANÝCH REGULAČNÍCH POCHOUDU soustava 1. řádu

ČÍSLO KROKU	HOODNOTY VÝCHOZÍ	HOODNOTY SIMULOVANÉ	HOODNOTY VÝCHOZÍ	HOODNOTY SIMULOVANÉ	VELIČINY	ALGORITMUS 1A	ALGORITMUS 1B
1.	-1.3678780	-1.3678770	0.6321203	0.6321203		$\Delta u(j) = -2.163951 \gamma'(j) +$ + 0.581975 $\gamma'(j-1)$ = 0.3760 $\cdot 10^{-6} \Delta u(j)$	$\Delta u(j) = -2.163942 \gamma'(j) +$ + 0.581829 $\gamma'(j-1)$ + 0.6336 $\cdot 10^{-6} \Delta u(j)$
2.	0.3678789	0.3678722	0.0000002	0.0000009			
3.	0.	0.0000071	0.	-0.000031			
4.	0.	-0.0000023	0.0000002	0.0000002			
5.	0.	0.0000012	0.0000005	-0.000005			

Tab. XV

POROVNÁNÍ VÝCHOZÍCH A SIMULOVANÝCH REGULAČNÍCH POCHOUDU soustava 1. řádu

ČÍSLO KROKU	HOODNOTY VÝCHOZÍ	HOODNOTY SIMULOVANÉ	HOODNOTY VÝCHOZÍ	HOODNOTY SIMULOVANÉ	VELIČINY	ALGORITMUS 1B	ALGORITMUS 1B
1.	-1.3678720	-1.3678720	0.6321203	0.6321203		$\Delta u(j) = -2.163942 \gamma'(j) +$ + 0.581829 $\gamma'(j-1)$ + 0.6336 $\cdot 10^{-6} \Delta u(j)$	$\Delta u(j) = -2.163942 \gamma'(j) +$ + 0.581829 $\gamma'(j-1)$ + 0.6336 $\cdot 10^{-6} \Delta u(j)$
2.	0.3678637	0.3678635	0.0000045	0.0000043			
3.	-0.0000124	-0.0000115	-0.0000038	-0.0000041			
4.	0.0000068	0.00000291	-0.0000145	-0.0000145			
5.	0.0000181	-0.0000085	-0.0000143	0.			

Tab. XVI

POROVNÁNÍ VÝCHOZÍCH A SIMULOVANÝCH REGULAČNÍCH POCHOUDU					
ČÍSLO	HODNOTY AKČNÍCH ZÁSAHU	HODNOTY REGUL.	VELIČINY	soustava 2. řádu	
KROKU	VÝCHOZÍ	SIMULOVANÉ	VÝCHOZÍ	SIMULOVANÉ	ALGORITMUS 1A
1.	-1.7357570	-1.7357570	0.2642409	0.2642409	$\Delta u(j) = -6.568840 \gamma(j) + 3.295669 \gamma(j-1) - 0.511766 \gamma(j-2) - 0.512303 \Delta u(j-1) - 0.7974 \cdot 10^{-4} \Delta u(j-2)$
2.	0.8710941	0.8710869	0.1353353	0.1353355	
3.	-0.1353351	-0.1353210	0.0000012	-0.0000014	
4.	0.	-0.0000151	-0.0000002	0.0000009	
5.	0.	0.0000255	0.0000014	-0.0000005	

Tab. XVII

POROVNÁNÍ VÝCHOZÍCH A SIMULOVANÝCH REGULAČNÍCH POCHOUDU					
ČÍSLO	HODNOTY AKČNÍCH ZÁSAHU	HODNOTY REGUL.	VELIČINY	soustava 2. řádu	
KROKU	VÝCHOZÍ	SIMULOVANÉ	VÝCHOZÍ	SIMULOVANÉ	ALGORITMUS 1B
1.	-2.2482390	-2.2482370	0.2642409	0.2642409	$\Delta u(j) = -8.508278 \gamma(j) + 3.848630 \gamma(j-1) - 0.713218 \gamma(j-2) - 0.448054 \Delta u(j-1) + 0.039387 \Delta u(j-2)$
2.	2.0235200	2.0250010	-0.0000832	-0.0000827	
3.	-1.1737140	-1.1888940	0.0001087	0.0004500	
4.	0.6023378	0.6433466	-0.0002680	-0.0033986	
5.	-0.3104913	-0.3719348	-0.0025200	0.0027523	

Tab. XVIII

POROVNÁNÍ VÝCHOZÍCH A SIMULOVANÝCH REGULAČNÍCH POCHODŮ					soustava 3. řádu
ČÍSLO KROKU	HO DNOTY AKČNÍCH ZÁSAHU VÝCHOZÍ	SIMULOVANÉ	HO DNOTY REGUL. VELIČINY VÝCHOZÍ	SIMULOVANÉ	ALGORITMUS 2
1.	-1.7137710	-1.7137990	0.9999996	0.9999992	$\Delta u(j) = 0.328071 u'(j) - 2.704748 u'(j-1) - 0.288734 u'(j-2) + 0.951639 u'(j-3) - 0.011082 \Delta u(j-1) - 1.244701 \Delta u(j-2) - 0.852703 \Delta u(j-3)$
2.	0.1402555	0.1402592	0.8623810	0.8623787	
3.	0.4580660	0.4580734	0.4571589	0.4571507	
4.	0.2145595	0.2760065	-0.0936095	-0.0935957	
5.	-0.0051687	-0.5780073	-0.0594837	-0.0545656	

Tab. XIX

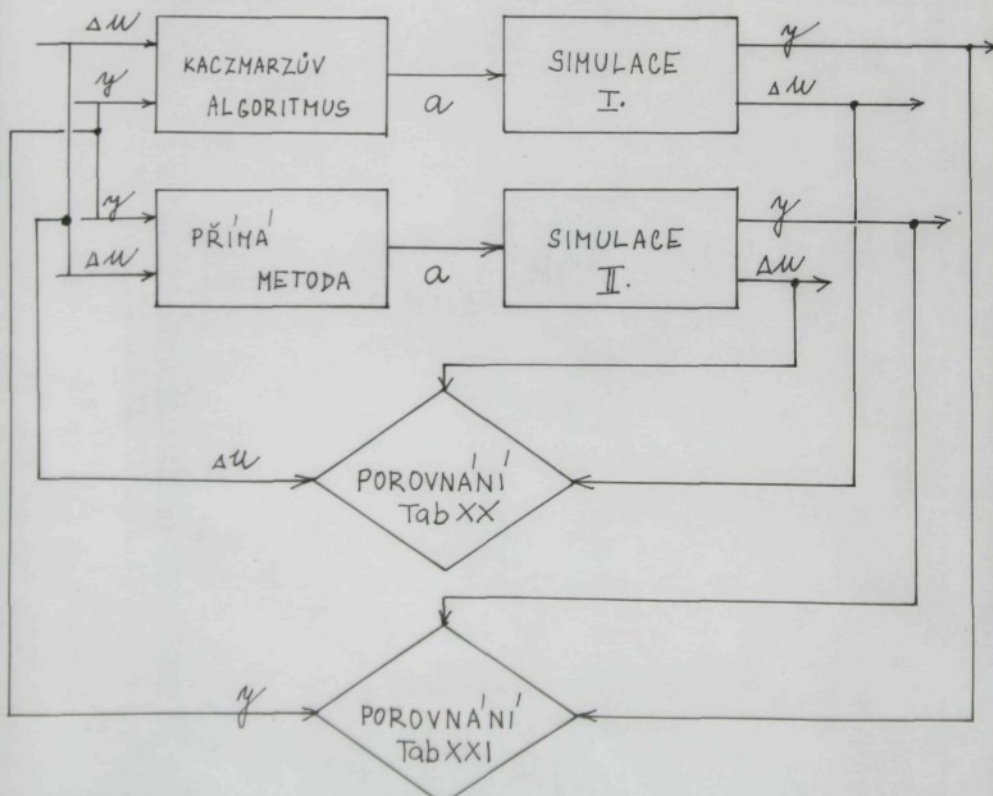
## 2/ Algoritmus 2

Při výpočtu koeficientů algoritmu řízení podle Kaczmarze se hodnoty vypočtených koeficientů algoritmu řízení liší od hodnot získaných přímým výpočtem / program DEP / 6 /, při použití stejných vstupů - hodnot akčních zásahů

- hodnot optimálních výstupů ze soustavy

Pro řídící algoritmy získané oběma metodami byla provedena simulace regulačních pochodů. Porovnání simulací je v následujících tabulkách / Tab.XX, Tab.XXI/. Je patrné, že simulace algoritmu řízení navrženého podle Kaczmarze je přesnější.

Schema porovnání obou metod / Obr. 4-3 /



Obr. 4-3

POROVNÁNÍ ŘÍDÍCÍCH ALGORITMU				soustava 3. řádu	
CÍSLO	HODNOTY AKONÍCH ZÁSAHU	SIMULACE	SIMULACE	ŘÍDÍCÍ ALGORITMUS PODLE KACZMARZOVA	
KROKU	DU	I.	II.	ALGORITMUS 2	
1.	-1.713771	-1.713799	-1.426025	$\Delta u(j) = 0.328071 y'(j)$	-
2.	0.140255	0.140259	0.102777	- 2.704748 $y'(j-1)$	- 0.288734 $y'(j-2)$ +
3.	0.458066	0.458073	0.354147	+ 0.951639 $y'(j-3)$	- 0.011082 $\Delta u(j-1)$ -
4.	0.214559	0.276006	0.096682	- 1.244701 $\Delta u(j-2)$ -	- 0.852703 $\Delta u(j-3)$
5.	-0.005168	-0.578007	-0.064862		

Tab. XX

POROVNÁNÍ ŘÍDÍCÍCH ALGORITMU				soustava 3. řádu	
CÍSLO	HODNOTY REGULOVANÉ VELIČINY	SIMULACE	SIMULACE	ALGORITMUS 2	
KROKU	Y	I.	II.	ŘÍDÍCÍ ALGORITMUS PODLE PRIMÉ	
1.	0.999999	0.999999	0.999999	$\Delta u(j) = -3.848143 y'(j)$	+
2.	0.862381	0.862378	0.885487	+ 2.602538 $y'(j-1)$	- 0.058594 $y'(j-2)$ -
3.	0.457178	0.457151	0.547185	- 0.121826 $y'(j-3)$	- 0.763061 $\Delta u(j-1)$ -
4.	-0.093609	-0.093596	0.239123	- 0.290405 $\Delta u(j-2)$ -	- 0.046692 $\Delta u(j-3)$
5.	-0.059484	-0.054566	0.095067		

Tab. XXI

Dále jsou uvedeny ukázky průběhů regulačních pochodů získaných simulací řídících algoritmů navržených pomocí Kaczmarzova iteračního postupu.

Jedná se o tyto pochody:

Obr. zobrazovaná soustava porucha algoritmus kvadratické veličina kritérium

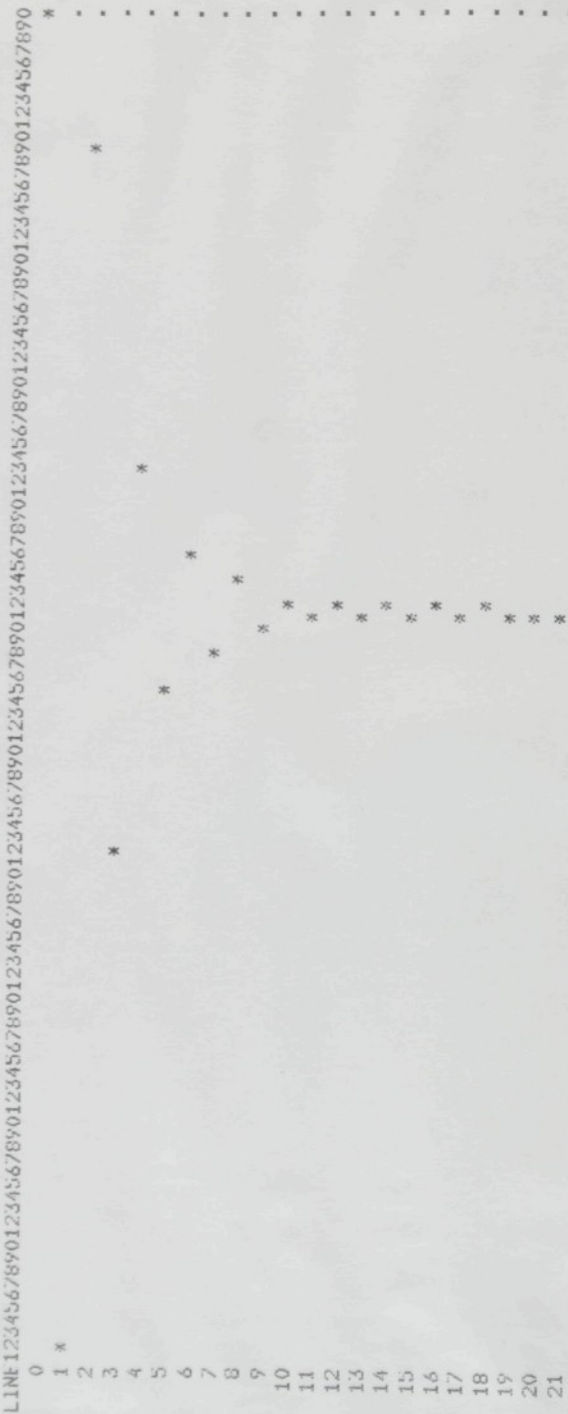
4-4	$\Delta W$	1. řádu	$\delta$	1B	$p^2 = 0$
4-5	$y$	1. řádu	$\delta$	1B	$p^2 = 0$
4-6	$\Delta W$	2. řádu	$\delta$	1B	$p^2 = 0$
4-7	$y$	2. řádu	$\delta$	1B	$p^2 = 0$
4-8	$\Delta W$	3. řádu	w	2	$p^2 = 0.1$
4-9	$y$	3. řádu	w	2	$p^2 = 0.1$

$$J = \sum_{i=1}^N y_i^2 + \beta^2 \Delta W_{i-1}$$





SEZNAM UZNAVLJIVI \* F1 X F2 0 F3 +F4 =F5 • USA  
MIN 1-0.224823/E 1  
MAX 1 0









5. Urychlení konvergence gradientního Kaczmarzova algoritmu

Zabýváme-li se ověřením vhodnosti Kaczmarzova algoritmu k použití pro návrh algoritmu řízení, není možno se při tom nezabývat problematikou konvergence.

Zmiňený algoritmus / jak již bylo uvedeno v předcházejících kapitolách / , slouží pro odhad parametrů lineární soustavy.

$$\underline{y} = \underline{a}^T \underline{w} \quad (5-1)$$

a lze jej napsat ve tvaru

$$\hat{\underline{a}}(k) = \hat{\underline{a}}(k-1) + h_k \frac{\underline{y}(k) - \hat{\underline{a}}^T(k-1) \underline{w}(k)}{\underline{w}^T(k) \underline{w}(k)} \underline{w}(k) \quad (5-2)$$

kde je

$\underline{y}$  skalárni výstup soustavy

$\hat{\underline{a}}$  n-rozměrný vektor odhadů neznámých parametrů soustavy

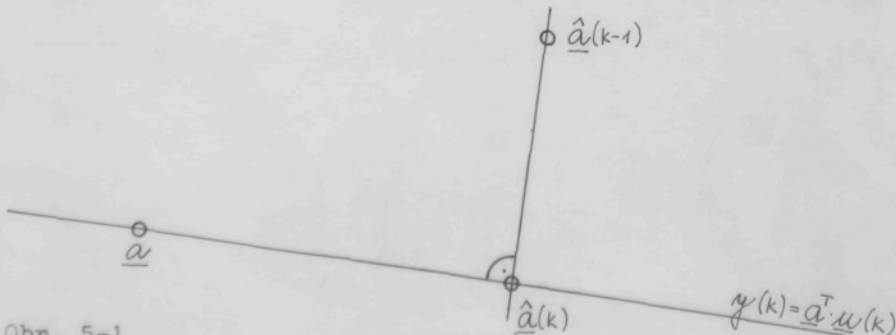
$\underline{w}$  n-rozměrný vektor vstupu soustavy

$h_k$  koeficient konvergence

$k$  krok

Pojem konvergence chápeme jako neustálé směřování posloupnosti odhadů  $\hat{\underline{a}}(k)$  ke správné hodnotě  $\underline{a}$ .

Formule má následující geometrický význam: nový odhad  $\hat{\underline{a}}(k)$  je ortogonální projekcí předchozího odhadu  $\hat{\underline{a}}(k-1)$  do nadroviny (5-1) / Obr. 5-1 / .

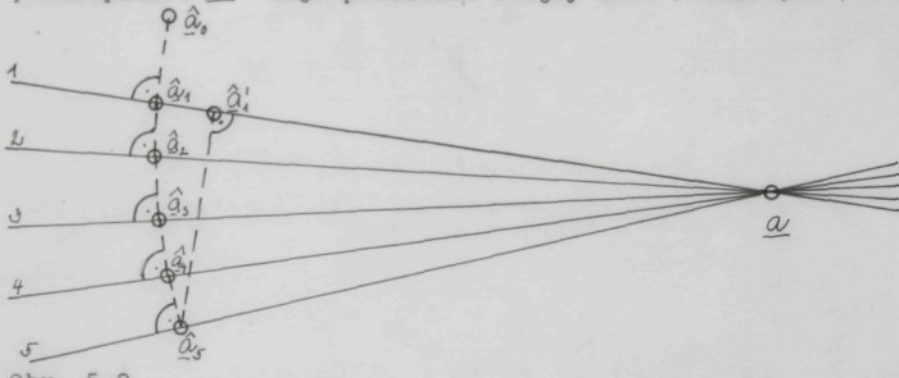


Obr. 5-1

Této geometrické interpretace se využívá i v návrzích na urychlení konvergence algoritmu (5-2).

Zaměřme se nyní na ty vlastnosti, které ovlivňují rychlosť konvergence algoritmu (5-2) a ukažme, jakým způsobem lze konvergenci urychlit a tím i zpřesnit výsledné hodnoty odhadů parametrů  $\hat{a}$ .

Jednou z nepříznivých vlastností, která ovlivňuje rychlosť konvergence, je ta skutečnost, kdy všechny vektory vstupní posloupnosti  $\underline{w}$  mají přibližně stejný směr / Obr. 5-2 /.



Obr. 5-2

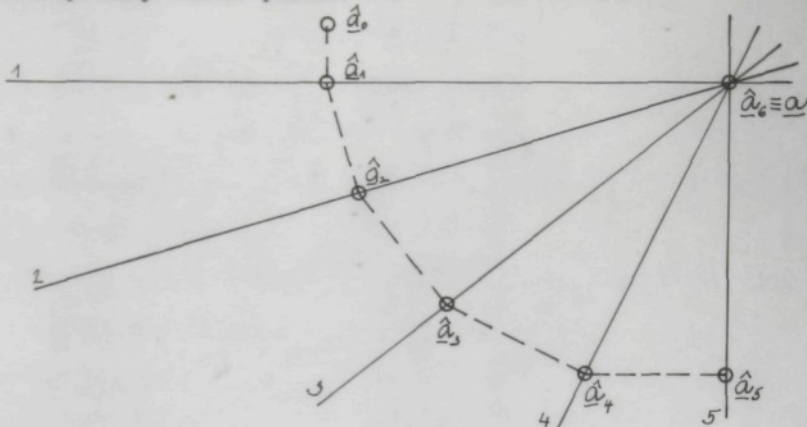
Čísla 1 - 5 jsou označena jednotlivá omezení soustavy rovnic (5-1).

Při iteračním výpočtu Kaczmarzova algoritmu, kterým byly získány hodnoty akčních zásahů i koeficienty algoritmu řízení, byl postup volby podmínkových rovnic v pevné posloupnosti, jak je naznačeno na Obr. 5-2.

Největší rychlosti konvergence se dosáhne tehdy, tvoří-li vstupní vektory  $\underline{w}$  ortogonální systém / Obr. 5-3 /.

Z porovnání Obr. 5-2 a Obr. 5-3 je patrné, jaký vliv má uspořádání vstupních vektorů na kvalitu konvergence. I při střídání podmínkových rovnic v pevné posloupnosti získáme po n kro-

cích přesný odhad parametrů / Obr. 5-3 /.



Obr. 5-3

## 5.1. Algoritmus ortogonalizace vstupních vektorů

J. Markl / 8 / popisuje algoritmus, který se vyrovnává současně se dvěma jevy:

- vektory vstupní posloupnosti mají přibližně stejný směr / Obr. 5-2 /
- změna směru vstupního vektoru probíhá velmi pomalu s časem, tento jev se vyskytuje spíše při identifikaci dynamických soustav.

Jedná se o zobecnění algoritmu(5-2), které lze vyjádřit takto:

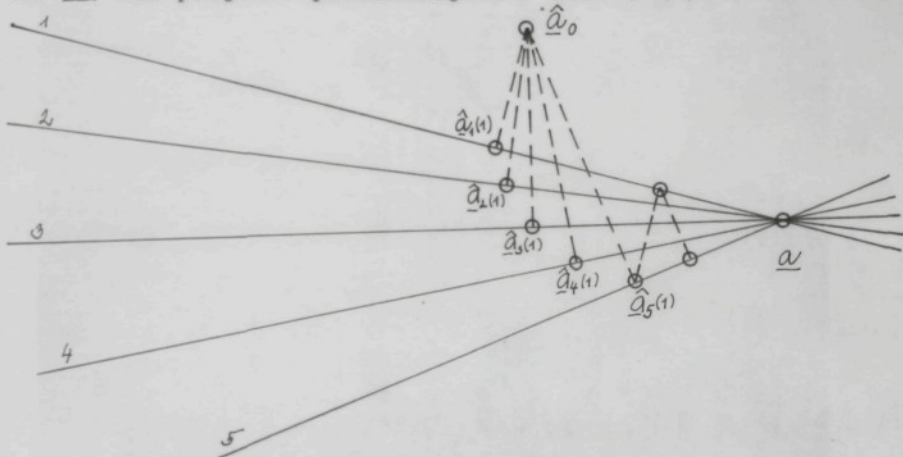
$$\underline{f}(k) = \underline{u}(k) - \sum_{j=1}^p \frac{\underline{u}^T(k) \cdot \underline{f}(k-j)}{\underline{f}^T(k-j) \cdot \underline{f}(k-j)} \cdot \underline{f}(k-j) \quad (5.1-1)$$

$$\hat{a}(k) = a(k-1) + \frac{y(k) - \hat{a}^T(k-1) \underline{u}(k)}{\underline{f}^T(k) \cdot \underline{f}(k)} \cdot \underline{f}(k) \quad (5.1-2)$$

parametr  $p$  ve vzorci (5.1-1) je tzv. stupeň ortogonalizace vstupní posloupnosti a může nabývat hodnoty  $p = 0, 1, \dots, n-1$ . Při  $p = 0$  algoritmus (5.1-1), (5.1-2) přechází v původní (5-2). Podrobnější popis a vlastnosti tohoto algoritmu nalezneme v /8/

## 5.2. Zobecněný Kaczmarzův algoritmus

Cypkin / 11 / uvádí Kaczmarzův algoritmus doplněný o tzv. algoritmus opravný. Princip zobecnění spočívá v tom, že algoritmus vybírá ze všech možných projekcí vektoru odhadu  $\hat{a}^{(k-1)}$ , do jednotlivých nadrovin  $i$ , jako další odhad tu projekci  $\hat{a}_i^{(k)}$ , která má od původní  $\hat{a}^{(k-1)}$  větší vzdálenost. Je-li toto splněno, pak má také vybraná projekce blíže k hledanému přesnému odhadu  $a$  než projekce předcházející / Obr. 5-4 /.



Obr. 5-4

Tvar tohoto algoritmu je pak:

$$\hat{a}^{(k)} = \tilde{a}^{(k-1)} + \frac{y(k) - \tilde{a}^{(k-1)} \underline{u}(k)}{\underline{u}^T(k) \cdot \underline{u}(k)} \underline{u}(k)$$

$$\tilde{a}^{(k-1)} = \hat{a}^{(k-1)} + \alpha(k) [\tilde{a}^{(k-2)} - \hat{a}^{(k-1)}]$$

$$\alpha(k) = \begin{cases} 1 & \text{jestliže } \rho^2 [\tilde{a}^{(k-1)}, \underline{a}(k)] > \rho^2 [\tilde{a}^{(k-2)}, \tilde{a}^{(k-1)}] \\ 0 & \text{v opačném případě} \end{cases}$$

$$\rho^2 [\tilde{a}^{(m)}, \underline{a}(k)] = \frac{(y(k) - \tilde{a}^{(m)} \underline{u}(k))^2}{\underline{u}^T(k) \underline{u}(k)}$$

kde je

$\hat{a}_{(k-1)}$  odhad parametru v  $(k-1)$ -tém iteračním kroku

$\underline{a}_{(k-1)}$  oprava odhadu  $\hat{a}_{(k-1)}$

$\alpha(k)$  proměnný koeficient

$\rho^2 [\underline{a}_{(m)} | \underline{a}_{(k)}]$  kvadrát vzdálenosti od bodu  $\hat{a}_{(m)}$  do  $k$ -té nadroviny

#### 5.3. Algoritmus relaxace

Wernstedt / 10 / uvádí Kaczmarzův algoritmus ve tvaru

$$\hat{a}_{(k)} = \hat{a}_{(k-1)} + \frac{k}{\|\underline{u}_{(k)}\|^2} \cdot \underline{u}_{(k)} (\underline{y}_{(k)} - \underline{u}_{(k)}^T \hat{a}_{(k-1)})$$

pro konvergenci doporučuje volbu konstanty v rozmezí  $0 < k < 2$

Zabývá se ve své práci / 10 / rušenými systémy při identifikaci soustav a srovnává algoritmus s tzv. rekurzivní regresí, která vykazuje rychlejší konvergenci. V práci / 10 / je ukázán příznivý vliv koeficientu  $k$  na konvergenci řešení při existenci šumu.

#### 5.4. Optimální volba koeficientu konvergence

Použitím Kaczmarzova algoritmu při identifikaci zašuměných soustav lze odvodit další modifikaci algoritmu (5-2) s optimální volbou koeficientu konvergence  $\mathcal{H}_k$ .

Největší rychlosť konvergence k ustálené hodnotě v systému bez šumu, bude dosaženo při  $\mathcal{H}_k = 1$ .

Také v této diplomové práci byla ve všech případech iteračního výpočtu pomocí Kaczmarzova algoritmu (5-2) volena  $\mathcal{H}_k = 1$ .

V práci / 7, 8 / je odvozena rekurentní formule pro hodnotu zesílení  $\mathcal{H}_k$ , aby byl zabezpečen optimální průběh identifikace zašuměných soustav.

5.5. Doplnění Kaczmarzova algoritmu s využitím hledání ve směru

Tento postup, navržený na KTK, pro urychlení konvergence využívá vzorce

$$\hat{a}(k) = \hat{a}(k-1) + \alpha_k \frac{y(k) - \hat{a}^T(k-1) \underline{w}(k)}{\underline{s}^T(k) \underline{w}(k)} \quad s(k) \quad (5.5-1)$$

kde

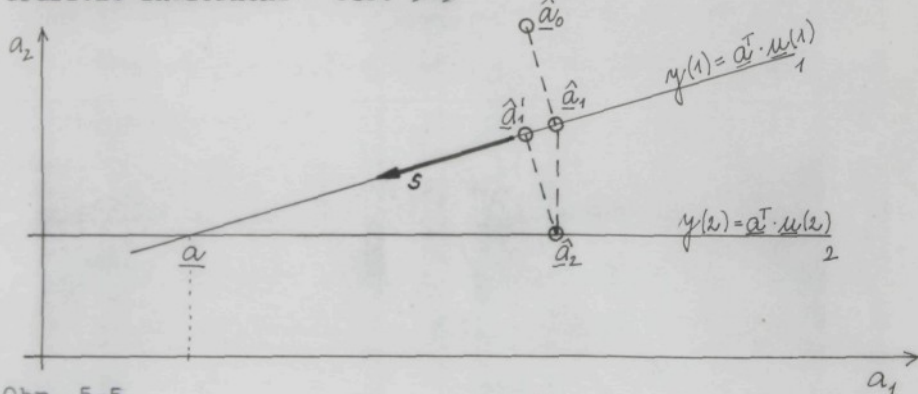
$$s(k) = \hat{a}(k) - \hat{a}(k-1)$$

Praktické použití ukažme na příkladu určení neznámých parametrů  $\underline{a}$  2- rozměrné soustavy.

Podmínka je dána v souladu s (5-1).

$$y = \underline{a}^T \cdot \underline{w}$$

Grafické znázornění - Obr. 5-5



Obr. 5-5

Kolmými projekcemi získáme odhadы  $\hat{a}_1$  a  $\hat{a}_1'$  splňující podmíinku  $y(1) = \underline{a}^T \cdot \underline{w}(1)$

a ležící na přímce 1. Z těchto odhadů určíme směr  $s$ .

$$s = \hat{a}_1' - \hat{a}_1$$

S použitím vzorce (5.5-1), získáme již ve 4. kroku přesný odhad  $\underline{a}$ .

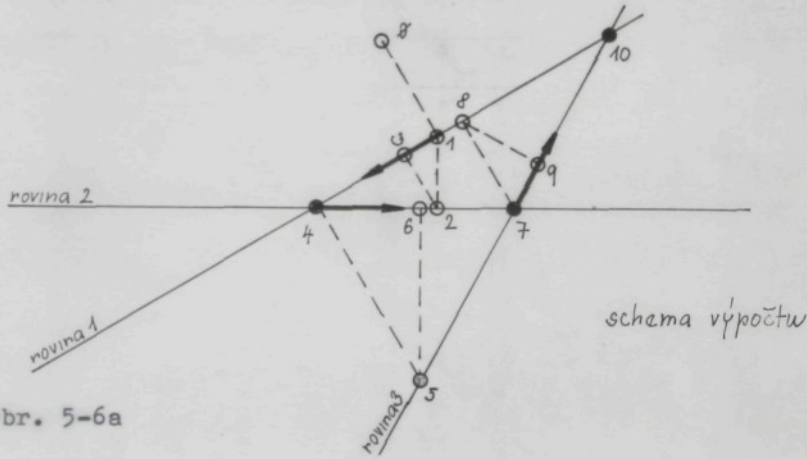
Pro vícerozměrné soustavy je celý postup poněkud komplikovaněj-

ší, ale v porovnání s klasickým algoritmem (5 - 2) rychlejší.

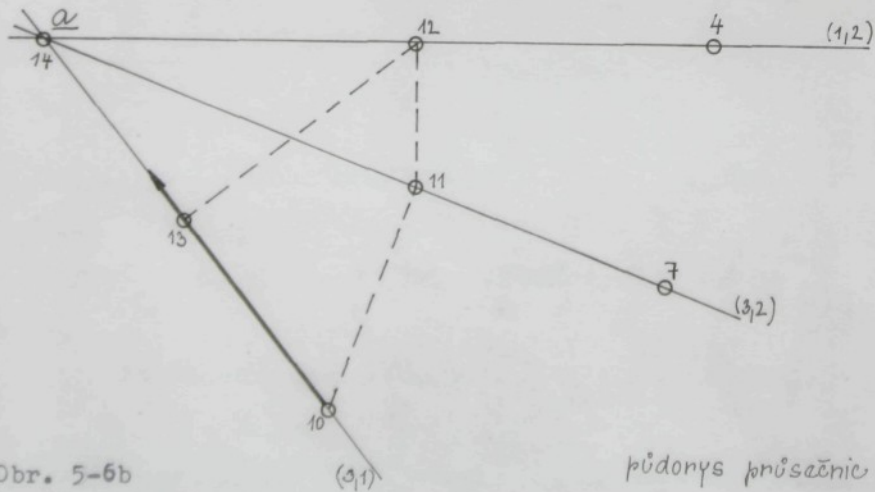
Postup u 3-rozměrné soustavy je schematicky uveden na

Obr. 5-6a. Čísla 1-14 jsou označeny kroky, kterými se dostaneme k hledanému přesnému odhadu  $\underline{a}$ . Body 4, 7, 10 na Obr. 5-6a představují body na průsečnici rovin  $(1,2)$ ,  $(3,2)$ ,  $(3,1)$ .

Na Obr. 5-6b jsou zakresleny průměty všech tří průsečnic  $/ (1,2), (2,3), (3,1) /$  do půdorysny. Ze dvou postupně získaných bodů na téže průsečnici 10 a 13 určíme směr do hledaného řešení  $\underline{a}$ , kterým je průsečík všech tří průsečnic.



Obr. 5-6a



Obr. 5-6b

půdorys průsečnic

Algoritmus (5.5-1) byl porovnán s klasickým algoritmem Kaczmarze (5-2). Porovnání bylo provedeno pro výpočet optimálních akčních zásahů v minimálním počtu regulačních kroků / viz Tab. XXII /.

n	0	1	2
p	1	22	3
k	1	28	7500
k*	1	4	14

Tab. XXII

význam použitých symbolů:

n ... řád soustavy

p ... počet podmírkových rovnic, počet neznámých parametrů

k ... potřebný počet iterací algoritmu (5-2) - prakticky doloženo výpočtem

k\* ... minimální teoretická hodnota počtu potřebných iterací navrhovaného algoritmu (5.5-1).

Navrhovaný algoritmus / resp. jeho část uvedená schematicky na Obr. 5-6a /, byl naprogramován v jazyce RPP - FORTRAN k ověření na počítači RPP 16 S. / Popis programu uveden v příloze 1 /.

#### 5.6. Využití konvergence geometrické řady

Jak již bylo uvedeno v kapitole 3.2., tvoří odhady parametrů soustavy po provedení potřebného počtu iterací, geometrickou řadu s kvocientem q. Odhad posledního člena geometrické řady provedeme podle vzorce

$$\hat{a}(\infty) = \hat{a}(k) + \frac{\Delta a}{1-q} \quad \text{kde} \quad \Delta a = \hat{a}(k+1) - \hat{a}(k)$$

S použitím definice o konvergenci geometrické řady:

Geometrická řada konverguje tehdy, jestliže existuje konečná

limita  $\lim_{k \rightarrow \infty} S_k = q$  posloupnosti jeho částečných součtů.

Částečný součet se vyjádří:

$$S_k = \Delta a \cdot \frac{1-q^k}{1-q}$$

kde  $\Delta a$  první člen řady

$q$  kvocient geometrické řady

Jestliže  $|q| < 1$ , pak  $S = \lim_{k \rightarrow \infty} S_k = \frac{\Delta a}{1-q}$

Tak byly provedeny odhad parametrů  $\Delta a$  jako koeficientu

algoritmu řízení / výpočet uveden v kap. 3.2., Tab. XI, XII / .

S využitím konvergence geometrické řady můžeme například

také stanovit potřebný počet iterací  $k$ , na dosažení zvolené přesnosti  $\varepsilon$ .

Provedme praktickou ukázku na soustavě 1. řádu při výpočtu optimálních akčních zásahů v minimálním počtu regulačních kroků Kaczmarzovým algoritmem. (5-2)

1. AKČNÍ ZÁSAH -  $\Delta u_1$  již 1. iterační krok dává ustálený odhad

$$\Delta u_1 = -1.3678790$$

2. AKČNÍ ZÁSAH -  $\Delta u_2$  1. iterační krok  $\Delta u_2(1) = 0$ .

3. iterační krok  $\Delta u_2(3) = 0.1281322$

5. iterační krok  $\Delta u_2(5) = 0.2116361$

Rozdíl hodnot získaných při iteracích 1,3,5:

$$\Delta u_2(3) - \Delta u_2(1) = 0.1281322$$

$$\Delta u_2(5) - \Delta u_2(3) = 0.0835039$$

Podílem dostáváme kvocient  $q$ :

$$q = \frac{0.0835039}{0.1281322} = 0.6514$$

Odhad posledního člena geometrické řady je pak:

$$\hat{\Delta u}_2 = 0.1281322 \cdot \frac{1}{1-0.6514} = 0.364849$$

Zvolme požadovanou přesnost  $\varepsilon = 0.001$ , určeme pro které k

vyhovuje rovnice:

$$0.1281322 \frac{1}{0.3483} - 0.1281322 \frac{1 - q^k}{0.3483} = 0.001$$

$$k = \frac{\ln \frac{0.001 \cdot 0.3483}{0.1281322}}{\ln \frac{0.6514}{0.3483}} \doteq 14$$

Pro dvě podmínkové rovnice je počet potřebných iterací dvojnásobný, tedy:

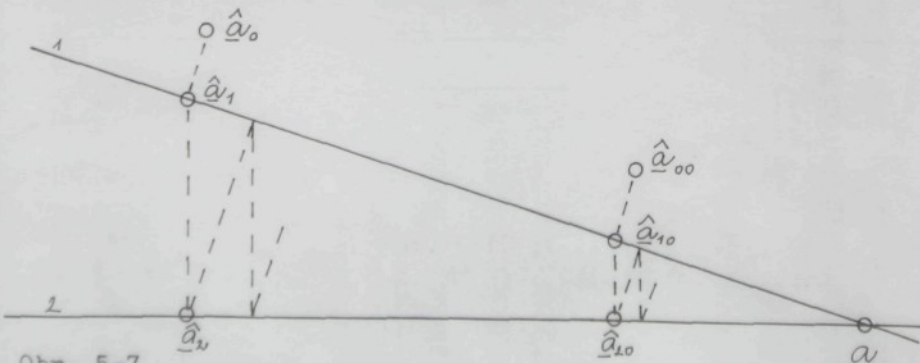
$$k = 28$$

Nyní ověřme, zda je vypočtené  $k$  skutečně správné. Ve výsledcích programu / příloha 4 /, nalezneme u 28. iteračního kroku hodnotu akčního zásahu  $\Delta U_{\text{28}}$ :

$$\Delta U_{\text{28}} = 0.3669627, \text{ která se liší od komečné o } \varepsilon$$

### 5.7. Volba počátečního odhadu

Počet potřebných iterací gradientové metody je závislý na volbě počátečního odhadu. Vycházíme-li z počátečního odhadu  $\hat{a}(0) = \hat{a}_0$ , je zajisté počet potřebných iterací větší, než kdybychom vycházeli z hodnoty bližší k hledanému přesnému odhadu  $a$  - například z  $\hat{a}_{\infty}$  / Obr. 5-7 /.



Obr. 5-7

Při výpočtu optimálních akčních zásahů v minimálním počtu regulačních kroků Kaczmarzovým algoritmem byly místo původního počátečního odhadu  $\Delta \underline{u}(0) = 0$  dosazen jako počáteční odhad vektor přesných hodnot podle přímého výpočtu. / 5 / Zkoumali jsme, jak se potom ustálené hodnoty z Kaczmarzova algoritmu liší od dosazených a které hodnoty splňují podmínkové rovnice přesněji. Ze srovnání z následující tabulky / Tab. XXIII/ je patrné, že hodnoty konečné z Kaczmarzova algoritmu, splňují podmínkové rovnice ještě přesněji.

Na základě provedeného rozboru vyplývá, že potřebný počet iterací Kaczmarzova algoritmu ovlivňuje řada faktorů:

- volba počátečního odhadu,
- přesnost zadávaných vstupních vektorů
- počet podmínkových rovnic
- tvar a rozložení vstupních vektorů
- vzájemný sklon vstupních vektorů.

Na urychlení konvergence klasického Kaczmarzova algoritmu byl sestaven program, který byl laděn na soustavě 3. řádu při výpočtu čtyř optimálních akčních zásahů v minimálním počtu regulačních kroků.

ŘS	PP	ČP	ŘEŠENÍ PŘÍMOU METODOU				ŘEŠENÍ KACZMARZOVÝM ALGORITMEM			
			HO DNOTY AKČ. ZÁSAHU	ABSOLUTNÍ CHYBA . 10 <sup>2</sup>	PRUMĚRNÁ CHYBA . 10 <sup>2</sup>		HO DNOTY AKČ. VÝCHOZÍ <sup>(k=0)</sup>	ZÁSAHU KONEČNÉ	ABSOLUTNÍ CHYBA . 10 <sup>2</sup>	PRUMĚRNÁ CHYBA . 10 <sup>2</sup>
			1.	-2.103638	0.00180		-2.103638	-2.10372	0.00020	
			2.	1.509644	0.00120	0.00030	1.509644	1.50972	0.00070	
3	4	3.	-0.455793	0.00030	0.00003		-0.455793	-0.45567	0.00110	0.00051
		4.	0.049787	0.00003			0.049787	0.04965	0.00002	

Tab. XXXIII : Vliv volby počítacního odhadu  $\Delta \underline{u}(0)$  na přesnost splnění podmínkových rovnic

## 6. Porovnání metod

Jsou porovnávány metody pro výpočet optimálních akčních zásahů. Porovnání je provedeno na zakladě praktického ověření algoritmů na číslicovém počítači RPP - 16S. Popisy programů jsou uvedeny v příloze 1.

Porovnávané algoritmy vypočtu:

A/ Kaczmarzův gradientní iterační

B/ Přímá metoda výpočtu optimálních akčních zásahů v minimálním počtu regulačních kroků, odvozená s. Hanouskem v / 5 /.

C/ Přímá metoda výpočtu optimálních akčních zásahů podle kvadratického kritéria jakosti regulace, algoritmus odvozen v / 4 /.

### 6.1. Náročnost na paměť počítače

Algoritmy A,B jsou velmi nenáročné na kapacitu paměti počítače. K výpočtu není třeba ukládat do paměti velké soubory dat, jak je tomu u algoritmu C. Při použití metody C je nutno provádět inverzi matic, čímž se obsazují místa v paměti. Programy pracují s velkými soubory čísel, což je nevýhoda metody C. Kaczmarzův algoritmus A se pro svou nenáročnost na paměť počítače doporučuje použít při mikroprocesorovém řízení procesů.

### 6.2. Náročnost na programování

Všechny tři algoritmy / A, B, C / pracují s jednoduchým a snadno interpretovatelným matematickým aparátem, výpočty lze automatizovat pomocí číslicového počítače s poměrně jednoduchými programy. Použití těchto metod nevyžaduje osvojení speciálních teoretických znalostí, a proto je lze

doporučit pro praktické použití.

Potřebný počet instrukcí programu k realizaci algoritmů udává následující tabulka.

ALGORITMUS	POČET INSTRUKCÍ
A	18
B	34
C	110

Do počtu instrukcí je zahrnuta pouze realizace vlastního algoritmu / vyloučeny instrukce čtení, tisku, prázdné příkazy /. U algoritmu A je třeba ještě 20 instrukcí pro přípravu podmínkových rovnic / vektoru levých a matice pravých stran /. Protože tyto instrukce nejsou součástí iteračního algoritmu, nejsou v tabulce uvedeny.

### 6.3. Doba výpočtu

Potřebný strojový čas k výpočtu podle jednotlivých algoritmů je uveden v následujícím přehledu:

ALGORITMUS	DOBA VÝPOČTU / 5 akč. zásahů za 1 sec./
A	0.04
B	1
C	5

Zdálo by se, že nejnáročnější z hlediska spotřeby strojového času je algoritmus C. Ve skutečnosti tomu tak není; nejrychlejší je algoritmus B. U Kaczmarzova algoritmu A je problematika časové náročnosti spojena s rychlosí konvergence. V tabulce je u algoritmu A uveden čas potřebný k provedení výpočtu v 1 iteračním kroku, ale výpočet 1000 iteračí trvá 30-60 sec, 30 000 iterací již 30-45 minut podle

počtu podmínkových rovnic. Pro výpočet v reálném čase je třeba algoritmus A doplnit ještě algoritmem na urychlení konvergence. Návrhy na urychlení algoritmu A jsou uvedeny v kapitole 5.

#### 6.4. Přesnost

Přesnost dosažených výsledků a porovnání metod je uvedeno v tabulce a grafu.

POROVNÁVANÉ ALGORITMY	Tab, Obr.	strana
A, B	TabII	23
A, B	Obr. 3-5	24

Připomeňme, že bylo zkoumáno jak výsledky obou algoritmů A, B vyhovují podmínkovým rovnicím / Tab.I, str.21 /.

#### 6.5. Použití

Výhodou Kaczmarzova algoritmu A je jeho široká aplikovatelnost, lze jej použít pro výpočet optimálních akčních zásahů, pro výpočet koeficientů algoritmu řízení. Díky své jednoduchosti našel uplatnění při identifikaci lineárních objektů a při řešení celé řady úloh lineární algebry.

## ZÁVĚR

V diplomové práci byl prakticky ověřen Kaczmarzův gradientní iterační algoritmus při návrhu řídících algoritmů. Celkem bylo sestaveno šest programů, které řeší výpočet Kaczmarzovým algoritmem nebo slouží k porovnání získaných hodnot. Z výsledků programů a teoretického rozboru vyplývá, že klasický Kaczmarzův algoritmus lze pro návrh řídících algoritmů použít v případě soustav nižších řádů. Jejdá-li se o soustavy vyšších řádů, je třeba použít ještě algoritmy doplňující - na urychlení konvergence, tak jak jsou navrženy v kapitole 5. této práce.

Jinak má Kaczmarzův algoritmus řadu výhod - je velmi přesný, nenáročný na kapacitu paměti počítače i na programování.

V jednom iteračním kroku má nepatrné nároky na čas počítače. Byl by proto vhodný k použití na mikroprocesorech.

Problém použití tohoto algoritmu v praxi je však spojen s problémem rychlosti konvergence iteračního postupu. Podaří-li se najít takový algoritmus, který by konvergenci iteračního výpočtu urychlil natolik, že by výsledků bylo dosahováno řádově do  $10^3$  iteračních kroků, pak lze tímto algoritmem navrhovat řízení v reálném čase - řízení technologických procesů.

Zatím se používá při řešení úloh lineární algebry a při identifikaci dynamických soustav.

Závěrem děkuji vedoucímu diplomové práce Prof. Ing. Bořivoji Hanušovi, CSc za cenné rady a připomínky.

SEZNAM POUŽITÉ LITERATURY

- / 1 / Hanuš, B.: Optimalizace systému řízení  
/ skripta /  
Liberec, VŠST 1978
- / 2 / Hanuš, B.: Gradientové metody v automatizaci  
/ výzkumná zpráva KTK 0078 /  
Liberec, VŠST 1981
- / 3 / Himmelblau, D. M.: Prikladnoje melinejnoje programiro-  
vaniye  
/ překlad z angličtiny /  
Moskva, Mir 1975
- / 4 / Hanuš, B., - Janeček, B., - Kracík, V., - Mikulecký, B.:  
Metoda návrhu víceparametrových číslicových  
regulačních systémů  
/ metodická příručka /  
Praha, ÚVVTŘ 1981
- / 5 / Hanousek, V.: Etalony přechodových procesů  
/ výzkumná zpráva KTK 0070 /  
Liberec, VŠST 1980
- / 6 / Janeček, B.: Program pro výpočet algoritmu řízení pro  
determinované vstupní poruchy a ověření  
algoritmu simulací regulačních pochodů při  
zapojeném regulátoru  
/ zpráva P - 0285 /  
Liberec, VŠST 1981

- / 7 / Markl, J.: Průběžná identifikace jako optimálně řízený proces  
Automatizace 24 1981 , č. 10, str. 252 -256
- / 8 / Markl, J.: Urychlení konvergence a zvýšení přesnosti odhadu jednoduchého gradientního algoritmu průběžné identifikace  
Zborník prednášok IV. celoštátnej konferencie ASR TP'80, ČSVTS - ÚRAP, Žilina, 1980
- / 9 / Kaczmarz, S.: Angemähte Auflösung von Systemen Linear Gleichungen.  
Bul. Inter. Acad. Pol. Cl. Sci. Math. Natur., Ser. A., 1937
- / 10 / Wernstedt, J.: Zur Parameterchätzung statischer Systeme mittels rekursiver Verfahren  
Messen - Steuern- Regeln, 1973, No 1
- / 11 / Avedjan, E. D., - Cypkin, Ja. Z.: Obobščenyj algoritm Kačmaža  
Avtomatika i telemekhanika, 1979, No 1

SEZNAM PŘÍLOH

č. přílohy	název
1	Popisy programů
2	Programy
3 - 9	Výsledky programů

PŘÍLOHA 1  
o  
POPISY PROGRAMU

počet stran ..... 13

1	Popis programu AKC .....	1 - 2
2	Popis programu MING .....	3 - 4
	Blokové schema .....	5
3	Popis programu RR .....	6
	Blokové schema .....	7
4	Popis programu MPK .....	8
5	Popis programu SIM .....	9
6	Popis programu RTZ .....	10-12
	Blokove schema logické návaznosti programů .....	13

① PROGRAM - VÝPOČET OPTIMÁLNÍCH AKČNÍCH ZÁSAHU GRADIENTOVOU  
METODOU S VYUŽITÍM KVADRATICKÉHO KRITÉRIA - AKC

Program řeší výpočet optimálních akčních zásahů jednorozměrné soustavy, známe-li typ a místo vstupu poruchy. V našem případě jde o poruchu ve tvaru jednotkového skoku na vstupu do regulované soustavy.

Popis vstupních dat do programu AKC:

Data jsou do programu načítána v tomto pořadí:

READ READ, NR, N, P, KAPA, T, KO, NI;

DO 1 I = 1, N;

1 READ READ, YD(I);

DO 22 I = 1, N;

22 READ READ, F(I);

Význam jednotlivých dat:

NR / INTEGER / ... řád soustavy

N / INTEGER / ... horní mez součtu v kvadratickém kritériu

P / REAL / ..... váhový koeficient v kvadratickém kritériu

KAPA / REAL / .... koeficient rychlosti konvergence

T / REAL / ..... časová konstanta

KO / INTEGER / ... konstanta určující po kolika iteracích bude prováděn tisk výsledků

NI / INTEGER / ... konstanta určující celkový počet iterací

YD(I) / REAL / ... vektor hodnot přechodové charakteristiky dané soustavy - odezva na determinovanou poruchu ve tvaru jednotkového skoku

F(I) / REAL / .... vektor hodnot přechodové charakteristiky dané soustavy - odezva soustavy na jednotkový akční zásah

Další důležité identifikátory programu AKC:

$Y(KL)$  / REAL / ..... vektor levých stran podmínkových rovnic  
 $U(KL, K)$  / REAL / .. matice pravých stran podmínkových rovnic  
 $DU(1, K)$  / REAL / .. výchozí odhad akčních zásahů  
 $DU(2, K)$  / REAL / .. nasledující odhad akčních zásahů  
 $KL$  / INTEGER / ..... číslo podmínkové rovnice

② PROGRAM - VÝPOČET AKČNÍCH ZÁSAHU GRADIENTOVOU METODOU  
V MINIMÁLNÍM POČTU KROKU - MING

Data jsou do programu načítána instrukcemi:

```
READ READ, NR, P, KAPA, T, MK, KO, NI;  
DO 22 I = 1, MK;  
22 READ READ, F(I);
```

Význam jednotlivých identifikátorů je stejný, jako v programu AKC.

MK / INTEGER / ... konstanta udávající počet načítaných hodnot přechodové charakteristiky.

Varianty programu:

1/ při použití klíče č. 3 se iteračním postupem nevypočítávají hodnoty akčních zásahů, ale hodnoty oprav akčních zásahů. Předem je nutno vypočítat opravy podmínkových rovnic a zavést do programu ve formě vstupních dat následující instrukcí: READ READ, Y(KL);

2/ použitím klíče č. 5 měníme výchozí odhad  $\Delta M(0) = 0$  / na libovolný počáteční odhad, který načteme z děrné pásky:  
READ READ, DU(1, K);

3/ stíacením klíče č. 8 provádíme iterační výpočet s řízením řešení jednotlivých podmínkových rovnic. K řízení jsou potřeba tyto parametry:

```
READ READ, KN;  
DO 83 IT = 1, KN;  
READ READ, KLO(IT);  
KN / INTEGER / ... konstanta určující počet prvků v cyklu  
řízení  
KLO(IT) / INTEGER / ... vektor posloupnosti čísel podmínko-
```

vých rovnic.

K vygenerování čísla podmínkové rovnice, která se má zapojit do řešení, slouží podprogram:

SUBROUTINE PODM ( KA, KN, KLO, KL ) ;

kde:

KA / INTEGER / ... udává číslo právě probíhající iterace

KL / INTEGER / ... určuje číslo podmínkové rovnice, která se má zapojit do iteračního výpočtu .

OBECNÉ BLOKOVÉ SCHEMA PROGRAMU AKC, MING<sup>o</sup>



③ PROGRAM - VÝPOČET KOEFICIENTU ALGORITMU ŘÍZENÍ - RR

Data jsou do programu načítána instrukcemi:

READ READ, NR, N, KAPA, KO, NI, EPS;

DO 2 I = 1, N;

2 READ READ, F(I);

DO 3 I = 1, N;

3 READ READ DU(I) ;

Význam jednotlivých identifikátorů je stejný jako v programu AKC.

N / INTEGER / ... počet načtených hodnot přechodové charakteristiky

EPS / REAL / .... konstanta

DU(I) / REAL / .. vektor hodnot optimálních akčních zásahů

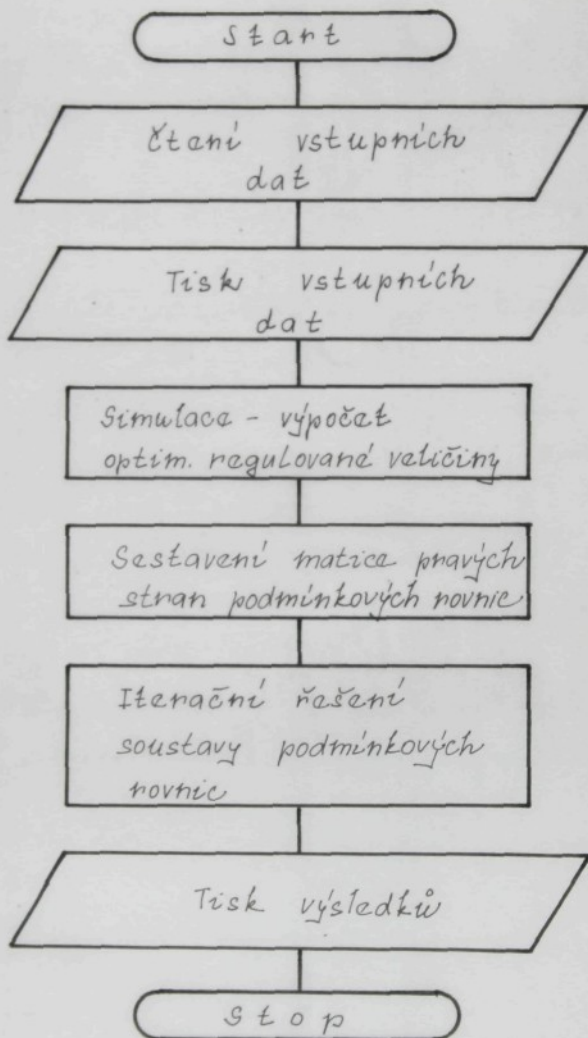
Další důležité identifikátory:

DU(KL) / REAL / . vektor hodnot optimálních akčních zásahů,  
tj. vektor levých stran podmínkových rovnic

O(KL,K)/ REAL / . maticce pravých stran podmínkových rovnic

YO(J)/ REAL /.... vektor optimálních regulovaných veličin

OBECNÉ BLOKOVÉ SCHEMA PROGRAMU RR



④ PROGRAM - VÝPOČET AKČNÍCH ZÁSAHU V MINIMÁLNÍM POČTU  
REGULAČNÍCH KROKU - MPK

Odvození algoritmu je v / 5 /. Pro objasnění uvádíme vzorec na výpočet akčních zásahů v konečném počtu kroků:

$$\Delta W_i = (-1)^i \left[ \binom{n}{i-1} \bar{c}^{i+1} + \binom{n}{i} \bar{c}^i \right] \quad i=1 \text{ až } m-1$$

$$\Delta W_m = (-1)^m \cdot \bar{c}^{m+1}$$

kde je

$n$  řád soustavy

$m$  počet akčních zásahů

$i$  pořadí akčních zásahů

Popis dat do programu:

READ READ, N;

N / INTEGER / ..... řád soustavy

Popis podprogramu a vnější funkce:

SUBROUTINE FACT ( NA, NL );

podprogram na výpočet faktoriálu z čísla NL

NA / INTEGER / ..... číslo ze kterého se faktoriál vypočítává

NL / INTEGER / ..... faktoriál z čísla NA

FUNCTION KLC ( KA, KB )

vnější funkce pro výpočet kombinačního čísla z čísel:

$$\binom{KA}{KB}$$

⑤ PROGRAM - SIMULACE REGULAČNÍHO POCHODU - SIM

Program slouží k ověření správnosti vypočtených řídících algoritmů.

Způsob zadávání dat je shodný s programem / 6 /.

Navíc jsou do programu načítány koeficienty řídícího algoritmu-instrukcemi:

DO 36 I= 1, MR;

DO 36 I= 1, NXY;

36 READ READ, AB(I,J);

(6) PROGRAM - URYCHLENÍ KONVERGENCE PŘI VÝPOČTU AKČNÍCH  
ZÁSAHU V MINIMÁLNÍM POČTU KROKŮ GRADIENTOVOU  
METODOU - RTZ

Popis vstupních dat i označení je stejné jako u programu MING.  
Buďou uvedeny jen odlišnosti a význam jednotlivých podprogramů.  
Vhodnou úpravou lze tento doplňující algoritmus použít v kteřímkoliv z uváděných programů, řešící výpočet Kaczmarzovým  
algoritmem, tj. MING, RR, AKC.

Do programu jsou navíc zavedena tato data:

```
DO 39 K= 1,M;  
39 READ READ, NC(K);  
READ INTYP, KS, KPS;  
NC(K) / INTEGER / ..... posloupnost čísel podmínkových rovnic  
M / INTEGER / ..... celkový počet podmínkových rovnic  
KS / INTEGER / ..... počet skupin  
KPS / INTEGER / ..... počet prvků ve skupině
```

Př. Chceme postupně dosazovat podmínkové rovnice za sebou  
v tomto pořadí. Střídání podmínkových rovnic zadáme  
posloupností NC(K), konstantami KS, KPS, takto:

12121212//32323232//34343434//14141414//.....

KS= 4                    NC(1)= 1

KPS = 8                NC(2)= 2

NC(3)= 3

NC(4)= 4

Charakteristika jednotlivých podprogramů:

SUBROUTINE GENER ( IB, KS, NC, KL, KA, IQ);

podprogram slouží k vygenerování čísla podmínkové rovnice KL z čísla právě probíhající iterace KA.

SUBROUTINE TEST ( IB, IC, KPS, KLC);

slouží k testování, zda má dojít k výpočtu ve směru či nikoliv Výstupem je promenná, KLC, která nabývá dvou hodnot:

pokud KLC = 1 - vyvolá se podprogram GRADS

pokud KLC ≠ 1 - vyvolá se podprogram GRAD

SUBROUTINE GRAD(D1, D2, U, Y, N, KL, KAPA, KA);

provádí výpočet podle vzorce, odvozeného v kap. 2.2, vzorec

má tvar:

$$\Delta \underline{w}(k) = \Delta \underline{w}(k-1) + \alpha_k \cdot \frac{\underline{y}(k) - \Delta \underline{w}^T(k-1) \cdot \underline{w}(k)}{\underline{w}^T(k) \cdot \underline{w}(k)} \underline{w}(k)$$

formální parametry podprogramu mají tento význam:

$$D1 \sim \Delta \underline{w}(k-1)$$

$$D2 \sim \Delta \underline{w}(k)$$

$$KAPA \sim \alpha_k$$

$$Y(KL) \sim \underline{y}(k)$$

$$T1 \sim \text{skalárni součin } \Delta \underline{w}^T(k-1) \cdot \underline{w}(k)$$

$$T2 \sim \text{skalárni součin } \underline{w}^T(k) \cdot \underline{w}(k)$$

$$U(KL, K)$$

SUBROUTINE GRADS(D1, D2, U, Y, N, KL, APA, KA, PAM);

provádí výpočet podle vzorce, uvedeného v kap. 5, vzorec

má tvar:

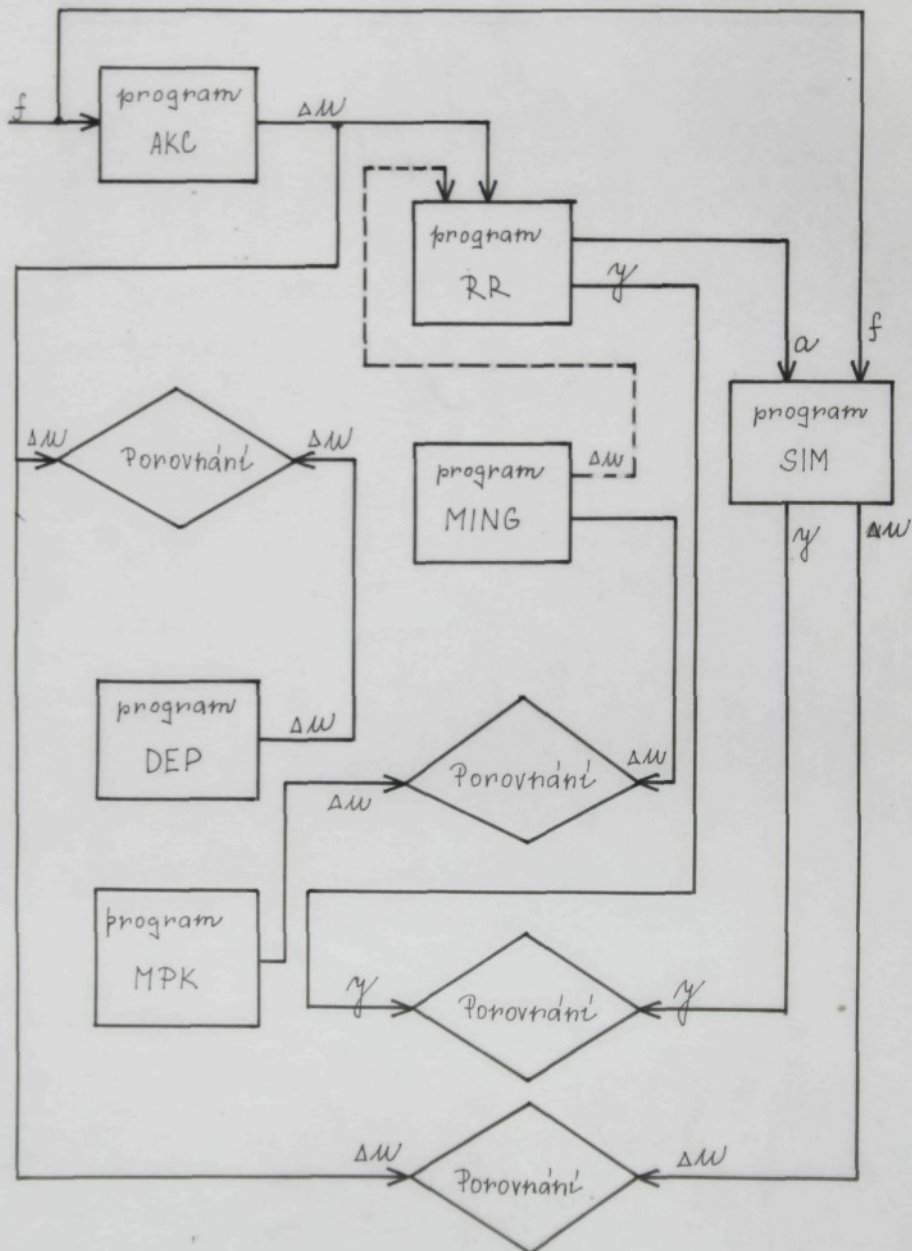
$$\Delta \underline{w}(k) = \Delta \underline{w}(k-1) + \alpha_k \cdot \frac{\underline{y}(k) - \Delta \underline{w}^T(k-1) \cdot \underline{w}(k)}{\underline{s}^T(k) \cdot \underline{w}(k)} \underline{s}(k)$$

SUBROUTINE PAMET(IB, D2, IC, PAM, N);

určuje, zda je nutno si vypočtenou hodnotu vektoru akčních zásahů pamatovat. Jestliže ano, pak provádí uložení této

hodnoty  $D_2(K)$  na proměnnou  $PAM(K)$ :

BLOKOVÉ SCHEMA LOGICKÉ NÁVAZNOSTI PROGRAMU



PŘÍLOHA 2

PROGRAMY

počet stran ..... 23

Program AKC .....	1 - 3
Program MING .....	4 - 6
Program RR .....	7 - 9
Program MPK .....	10 - 11
Program SIM .....	12 - 19
Program RTZ .....	20 - 23

\*\*\*\*\*  
MENU PROGRAMU: AKC  
KOMENTAR:

```
1      PROGRAM VYPUSET OPTIMALNICH ZASAHU GRADIENT. METODOU;
2 DIMENSION YD(20),F(20),Y(20),U(20,20),DU(3,20);
3      REAL KAPA;
4      READ READ,
5      NR,N,P,KAPA,T,KO,NI;
6      WRITE LINE,200;
7      WRITE LINE,201,NR;
8      WRITE LINE,100,N,P,KAPA,T;
9      WRITE LINE,108;
10     WRITE LINE,103;
11     WRITE LINE,108;
12     WRITE LINE,108;
13     DO 1 I=1 ,N;
14     1READ READ,YD(I);
15     DO 22I=1,N;
16     22READ READ,F(I);
17     DO 23 I=1,N;
18     WRITE LINE,104,YD(I);
19     WRITE LINE,111,F(I);
20     23 WRITE LINE,108;
21     WRITE LINE,108;
22     WRITE LINE,109;
23     WRITE LINE,108;
24     IF KEY(3),81,82;
25     81 DO 35 KL=1,N;
26     READ READ,Y(KL);
27     35 CONTINUE;
28     COMMENT Y= VEKTOR LEVYCH STRAN
29     PODMINKOVYCH ROVNIC;
30     GOTO 36;
31     82 DO 2 KL=1,N;
32     S=0.0E0;
33     DO 3 I=KL,N;
34     IA=I+1-KL;
35     3 S=S+(YD(I)*F(IA));
36     Y(KL)=-S;
37     WRITE LINE,104,Y(KL);
38     WRITE LINE,108;
39     2 CONTINUE;
40     36 CONTINUE;
41     COMMENT U= MATICE PRAVYCH STRAN
42     PODMINKOVYCH ROVNIC;
43
44     M=0;
45     DO 7 KL=1,N;
46     DO 8 K=1,N;
47     SU=0.0E0;
48     IF (KL-K),9,9,10;
49     9L=K;
50     GOTO 110;
51     10 L=KL;
52     110 CONTINUE;
53     DO 11 I=L,N;
54     IA=I+1-K;
55     IB=I-M;
```

```

56 SU=SU+F(IB)*F(IA);
57 11 CONTINUE;
58 SA=SU;
59 IF(KL-K),14,15,14;
60 14 U(KL,K)=SA;
61 GOTO 8;
62 15 U(KL,K)=SA+P;
63 8 CONTINUE;
64 M=M+1;
65 7 CONTINUE;
66 WRITE LINE,108;
67 WRITE LINE,107;
68 WRITE LINE,108;
69 IF KEY(5),68,69;
70 68 DO 34 K=1,N;
71 READ READ,DU(1,K);
72 34 CONTINUE;
73 GOTO 500;
74 69 DO 16 K=1,N;
75 DU(1,K)=0.0;
76 16 CONTINUE;
77 500 CONTINUE;
78 COMMENT ITERACNI VYPOCET;
79 DO 17 KA=1,NI;
80 T1=0.0E0;
81 T2=0.0E0;
82 KL=KA-(KA/N*N);
83 IF ( KL),48,49,48;
84 49 KL=N;
85 48 CONTINUE;
86 DO 19 K=1,N;
87 T1=T1+DU(1,K)*U(KL,K);
88 19 T2=T2+U(KL,K)*U(KL,K);
89 KK=KA/K0*K0;
90 DO 18 K=1,N;
91 IF (N-5),93,94,94;
92 93 NC=N;
93 GOTO 98;
94 94 NC=5;
95 98KP=K/NC*NC;
96 IF (T2),85,86,85;
97 85DU(2,K)=DU(1,K)+(KAPA*(Y(KL)-T1)/T2)*U(KL,K);
98 86IF (KA-KK),55,54,55;
99 54 CONTINUE;
100 IF (K-1),56,57,56;
101 57 WRITE LINE,105,KA;
102 56WRITE LINE,102,DU(2,K);
103 IF (K-KP),59,58,59;
104 58 WRITE LINE,108;
105 WRITE LINE,113;
106 IF (K-N),18,60,18;
107 60 WRITE LINE,108;
108 59 CONTINUE;
109 55 CONTINUE;
110 18 CONTINUE;
111 DO 13 K=1,N;
112 DU(1,K)=DU(2,K);
113 13 CONTINUE;
114 17 CONTINUE;
115 101 FORMAT(E14.7);
116 102 FORMAT(5X,E14.7);
117 200 FORMAT ('VYPOCET OPTIM. AKCNICH ZASAHU GRADIENTOVOU METODOU
118 ****');
119 201 FORMAT('
120 RAD SOUSTAVY ',I3);

```

```
121 100 FORMAT(*  
122 N=*,13,'P=*,F5.2,*KAPA=*,F5.2,*T=*,F5.2)*;  
123 103 FORMAT (*DATA*);  
124 105 FORMAT(I7);  
125 111 FORMAT(10X,F14.2);  
126 104 FORMAT(F14.7);  
127 113 FORMAT(7X);  
128 106 FORMAT(*MEZIVYPOUCET U(KA,K)*);
```

```
129 107 FORMAT(*C.ITER. KROK          OPTIMAL.AKCNI ZASAHY  
130 =====*=====*)*;  
131 109 FORMAT(*MEZIVYPOUCET Y*);  
132 108 FORMAT(*  
133 *);  
134 END;  
135 END OF PROGRAM;  
136
```

```
4  
5  
6  
7  
8  
9  
10  
11  
12  
13  
14  
15  
16  
17  
18  
19  
20  
21  
22  
23  
24  
25  
26  
27  
28  
29  
30  
31  
32  
33  
34  
35  
36  
37  
38  
39  
40  
41  
42  
43  
44  
45  
46  
47  
48  
49  
50  
51  
52  
53  
54  
55  
56  
57  
58  
59  
60  
61  
62  
63  
64  
65  
66  
67  
68  
69  
70  
71  
72  
73  
74  
75  
76  
77  
78  
79  
80  
81  
82  
83  
84  
85  
86  
87  
88  
89  
90  
91  
92  
93  
94  
95  
96  
97  
98  
99  
100  
101  
102  
103  
104  
105  
106  
107  
108  
109  
110  
111  
112  
113  
114  
115  
116  
117  
118  
119  
120  
121  
122  
123  
124  
125  
126  
127  
128  
129  
130  
131  
132  
133  
134  
135  
136
```

\*\*\*\*\*  
MENU PROGRAMU: MING  
KONCENTRATOR:

```
1      PROGRAM VYPOCET OPTIMALNICH AKCNICH ZASAHU
2  V MINIMALNIM POCTU KROKU GRADIENT.METODOU;
3  DIMENSION YD(20),F(20),Y(20),U(20,20),DU(3,20);
4  DIMENSION KLO(50);
5  REAL KAPA, KONS;
6  READ READ,
7  NR,P,KAPA,T,MK,KO,NI;
8  WRITE LINE, 108;
9  WRITE LINE, 100;
11 WRITE LINE,101,NR,P,KAPA,T;
12 WRITE LINE,108;
13 WRITE LINE,103;
14 WRITE LINE,108;
15 DO 22I=1,MK;
16 22READ READ,F(I);
17 DO 23 I=1,MK;
18  WRITE LINE,111,F(I);
19 23 WRITE LINE,108;
20  WRITE LINE,108;
21 M=NR+1;
22 IF KEY (3),81,82;
23 81 DO 35 KL=1,M;
24  READ READ ,Y(KL);
25 35 CONTINUE;
26  WRITE LINE,205;
27  WRITE LINE,108;
28 205 FORMAT(
29  VYPOCET UPRAV AKC.ZASAHU");
30 GOTO 36;
31 COMMENT Y= VEKTOR LEVYCH STRAN
32 PODMINKOVYCH ROVNIC;
33 82 KF=M;
34 DO 2 KL=1,M;
35 Y(KL) =-F(KF);
36 KF=KF+1;
37 2 CONTINUE;
38 36 NA=NR;
39 DO 3 KL=1,M;
40 KB=NA;
41 COMMENT U= MATICE PRAVYCH STRAN
42 PODMINKOVYCH ROVNIC;
43 DO 4 K=1,M;
44 IF (NR),62,62,61;
45 62 U(KL,K)=F(M);
46 GOTO 4;
47 61IF (KB),26,26,25;
48 26 U(KL,K)=0.0;
49 GOTO 4;
50 25U(KL,K)=F(KB);
51 KB=KB-1;
52 4 CONTINUE;
53 NA=NA+1;
54 3 CONTINUE;
55 IF KEY(15),98,99;
```

```
56  98 WRITE LINE,201;
57  WRITE LINE,108;
58  DO 87 KL=1,M;
59  87 WRITE LINE,200,Y(KL);
60  WRITE LINE,108;
61  WRITE LINE,108;
62  DO 88 K=1,M;
63  DO 89 KL=1,M;
64  89 WRITE LINE,202,U(KL,K);
65  88 WRITE LINE,108;
66  200 FORMAT(",
67  ",E14.7);
68  201 FORMAT(",
69  MEZIVYSLEDKY");
70  202 FORMAT(2X,F10.7);
71  99WRITE LINE,108;
72  WRITE LINE,107;
73  WRITE LINE,108;
74  IF KEY(5),68,69;
75  68 DO 34 K=1,M;
76  READ READ,DU(1,K);
77  34 CONTINUE;
78  WRITE LINE,206;
79  WRITE LINE,108;
80  206 FORMAT(",
81  VYPOCET S ODHADEM");
82  GOTO 500;
83  69 DO 16 K=1,M;
84  DU(1,K)=0.0;
85  16 CONTINUE;
86  500 CONTINUE;
87  IF KEY(8),86,90;
88  86 READ READ,KN;
89  DO 83 IT=1,KN;
90  READ READ,KLO(IT);
91  83 CONTINUE;
92  WRITE LINE,208;
93  WRITE LINE,108;
94  90 CONTINUE;
95  COMMENT ITERACNI VYPOCET;
96  DU 17 KA=1,NI;
97  T1=0.0E0;
98  T2=0.0E0;
99  IF KEY(8),84,85;
100  84 CALL PUDM(KA,KN,KLO,KL);
101  208 FORMAT(",
102  VYPUSET S RIZENIM PODMINKOVYCH ROVNIC");
103  GOTO 48;
104  85 KL=KA-(KA/M*M);
105  IF (KL),48,49,48;
106  49 KL=M;
107  48 CONTINUE;
108  DO 19 K=1,M;
109    T1=T1+DU(1,K)*U(KL,K);
110    T2=T2+U(KL,K)**2;
111  19 CONTINUE;
112  KONS =KAPA*(Y(KL)-T1)/T2;
113  KK=KA/KO*KD;
114  DO 18 K=1,M;
115    DU(2,K)=DU(1,K)+KONS*U(KL,K);
116  COMMENT RIZENI TISKU PO KO-ITERACICH;
117  IF (KA-KK),55,54,55;
118  54 CONTINUE;
119  IF (KA-2500),71,72,71;
120  72 KO=100;
```

```
121 71 IF(K-1),56,57,58;
122 57 WRITE LINE,105,K$;
123 WRITE LINE,220,KL;
124 220 FORMAT(I2);
125 56 WRITE LINE,102,DU(2,K);
126 IF(K-M),59,58,59;
127 58 WRITE LINE,108;
128 WRITE LINE,108;
129 59 CONTINUE;
130 55 CONTINUE;
131 18 CONTINUE;
132 DO 13 K=1,M;
133 DU(1,K)=DU(2,K);
134 13 CONTINUE;
135 17 CONTINUE;
136 102 FORMAT(5X,E14.7);
137 100 FORMAT('
138 VYPOCET OPTIM. AKCNICH ZASAHU V MIN. POCTU KROKU GRAD. METODOU
139 ****
140 101 FORMAT('
141 RAD SOUSTAVY N=',I3,',
142 P =',F5.2,', KAPA =',F5.2,', T =',F5.2);
143 103 FORMAT('
144 HODNOTY PRECHODOVÉ CHARAKTERISTIKY');
145 105 FORMAT(I7);
146 111 FORMAT(25X,E14.7);
147 107 FORMAT(' CISLO KROKU          AKCNI ZASAHY
148 ****
149 108 FORMAT('
150 ');
151 END;
152 SUBROUTINE PODM(KA,KN,KLO,KL);
153 DIMENSION KLO(50);
154 I=KA-(KA/KN*KN);
155 IF(I),2,2,3;
156 2 I=KN;
157 3 KL=KLO(I);
158 RETURN;
159 END;
160 END OF PROGRAM;
161
```

\*\*\*\*\*  
MENU PROGRAMU: RR  
KOMENTAR:

\*\*\*\*\*

```
1 PROGRAM RIDICI ALGORITMUS;
2 DIMENSION YD(20),F(20),DU(20),U(20,20),A(3,20),Y0(20);
3 REAL KAPA;
4 READ READ,NR,N,KAPA,KU,NI,EPS;
5 N1=N+1;
6 DO 2 I=1,N;
7 2 READ READ,F(I);
8 DO 3 I=1,N;
9 3 READ READ,DU(I);
10 WRITE LINE,100;
11 WRITE LINE,250,NR,KAPA;
12 WRITE LINE,108;
13 N4=2*NR+1;
14 WRITE LINE,101,N4;
15 WRITE LINE,108;
16 DO 4 I=1,N;
17 WRITE LINE,103,F(I);
18 WRITE LINE,104,DU(I);
19 4 WRITE LINE,108;
20 WRITE LINE,108;
21 COMMENT VYPUCET YO OPTIMALNI;
22 COMMENT DU= VEKTOR LEVYCH STRAN
23 PODMINKOVYCH ROVNIC;
24 WRITE LINE,106;
25 WRITE LINE,108;
26 DO6 J=1,N;
27 N2=J-1;
28 IF (N2),32,32+33;
29 32 N2=1;
30 33S=0.0;
31 DO 7 K=1,N2;
32 J1=J-K;
33 IF (J1),30,30,31;
34 30 S=0.0;
35 GOTO 7;
36 31 S=S+F (J1)*DU(K);
37 7 CONTINUE;
38 B=S+F (J);
39 Y0(J)=B;
40 WRITE LINE,102,Y0(J);
41 WRITE LINE,108;
42 6 CONTINUE;
43 COMMENT U= MATICE PRAVYCH STRAN
44 PODMINKOVYCH ROVNIC;
45 N3=NR+1;
46 DO 8 KL=1,N4;
47 DO 9 K= 1,N4;
48 IF (K-N3),10,10,11;
49 11 KD=K-N3;
50 K2=KL-KD;
51 IF (K2),72,72,73;
52 72 U(KL,K)=0.0;
53 GOTO 9;
54 73 U(KL,K)=DU(K2);
55 GOTO 9;
```

```

56 10 KY=K-1;
57 K1=KL-KY;
58 IF (K1),74,74,75;
59 74 O(KL,K)=0.0;
60 GOTO 9;
61 75 O(KL,K)=Y0(K1);
62 9 CONTINUE;
63 8 CONTINUE;
64 WRITE LINE,201;
65 WRITE LINE,108;
66 DO 81 K=1,N4;
67 DO 82 KL=1,N4;
68 82 WRITE LINE,200,O(KL,K);
69 81 WRITE LINE,108;
70 200 FORMAT(2X,F10.7);
71 201 FORMAT(*
72 VENKORY 0*);
73 COMMENT A= VEKTOR KOEF.RIDICIHO ALGORITMU;
74 DO 15 K=1,N4;
75 15 A(1,K)=0.0;
76 WRITE LINE,107;
77 WRITE LINE,108;
78
79 COMMENT ITERACNI VYPOCET;
80 DO 12 KA=1,NI;
81 T1=0.0;
82 T2=0.0;
83 KL=KA-(KA/N4*N4);
84 IF (KL),48,49,48;
85 49 KL=N4;
86 48 CONTINUE;
87 DO 13 K=1,N4;
88 T1=11+A(1,K)*O(KL,K);
89 T2=12+O(KL,K)*O(KL,K);
90 13 CONTINUE;
91 IF (T2-EPS),83,83,84;
92 83 T2=EPS;
93 84 KK=KA/KD*KD;
94 DO 14 K=1,N4;
95 IF (N4-5),93,94,94;
96 93 NC=N4;
97 GOTO 98;
98 94 NC=5;
99 98 KP=K/NC*NC;
100 A(2,K)=A(1,K)+(KAPA*(DU(KL)-T1)/T2)*O(KL,K);
101 COMMENT RIZENI TISKU;
102 IF (KA-KK),55,54,55;
103 54 CONTINUE;
104 IF (K-1),56,57,56;
105 57 WRITE LINE,109,KA;
106 WRITE LINE,109,KL;
107 56WRITE LINE,103,A(2,K);
108 IF (K-KP),59,58,59;
109 58 WRITE LINE,108;
110 WRITE LINE,113;
111 59 IF (K-N4),14,60,14;
112 60 WRITE LINE,108;
113 55 CONTINUE;
114 14 CONTINUE;
115 DO 20 K=1,N7;
116 A(1,K)=A(2,K);
117 20 CONTINUE;
118 12 CONTINUE;
119 100 FORMAT (*VYPOCET KOEF.RIDICIHO ALGORITMU GRADIENT. METODOU
120 *****)";

```

```
121 250 FORMAT(*  
122 SOUSTAVA NR=*,I3,5X,'KAPA=',F5.2,*  
123 *);  
124 101 FORMAT('POCET KOEFICIENTU=',13,*  
125 *);  
126 113 FORMAT(12X);  
127 102 FORMAT(E 14.7);  
128 103 FORMAT(5X+E14.7);  
129 104 FORMAT(50X,E14.7);  
130 105 FORMAT (2I5);  
131 106 FORMAT ('VYPOCET Y OPTIMALNI ');  
132 107 FORMAT ( 'CISLO ITER. KOEF.ALGORITMU  
133 =====');  
134 109 FORMAT (I6);  
135 108 FORMAT(*  
136 *);  
137 END;  
138 END OF PROGRAM;  
139
```

```
101 250 FORMAT(*  
102 SOUSTAVA NR=*,I3,5X,'KAPA=',F5.2,*  
103 *);  
104 101 FORMAT('POCET KOEFICIENTU=',13,*  
105 *);  
106 113 FORMAT(12X);  
107 102 FORMAT(E 14.7);  
108 103 FORMAT(5X+E14.7);  
109 104 FORMAT(50X,E14.7);  
110 105 FORMAT (2I5);  
111 106 FORMAT ('VYPOCET Y OPTIMALNI ');  
112 107 FORMAT ( 'CISLO ITER. KOEF.ALGORITMU  
113 =====');  
114 109 FORMAT (I6);  
115 108 FORMAT(*  
116 *);  
117 END;  
118 END OF PROGRAM;
```

```
101 250 FORMAT(*  
102 SOUSTAVA NR=*,I3,5X,'KAPA=',F5.2,*  
103 *);  
104 101 FORMAT('POCET KOEFICIENTU=',13,*  
105 *);  
106 113 FORMAT(12X);  
107 102 FORMAT(E 14.7);  
108 103 FORMAT(5X+E14.7);  
109 104 FORMAT(50X,E14.7);  
110 105 FORMAT (2I5);  
111 106 FORMAT ('VYPOCET Y OPTIMALNI ');  
112 107 FORMAT ( 'CISLO ITER. KOEF.ALGORITMU  
113 =====');
```

\*\*\*\*\*  
MENU PROGRAMU: MPK

KOMENTAR:

\*\*\*\*\*  
1. VYPOCET AKC. ZASAHU V MIN. POCTU KROKU;

2. VYPOCET KOMB. CISLA;

3. VYPOCET KOMB. CISLA;

4. VYPOCET KOMB. CISLA;

5. VYPOCET KOMB. CISLA;

6. VYPOCET KOMB. CISLA;

7. VYPOCET KOMB. CISLA;

8. VYPOCET KOMB. CISLA;

9. VYPOCET KOMB. CISLA;

10. VYPOCET KOMB. CISLA;

11. VYPOCET KOMB. CISLA;

12. VYPOCET KOMB. CISLA;

13. VYPOCET KOMB. CISLA;

14. VYPOCET KOMB. CISLA;

15. VYPOCET KOMB. CISLA;

16. VYPOCET KOMB. CISLA;

17. VYPOCET KOMB. CISLA;

18. VYPOCET KOMB. CISLA;

19. VYPOCET KOMB. CISLA;

20. VYPOCET KOMB. CISLA;

21. VYPOCET KOMB. CISLA;

22. VYPOCET KOMB. CISLA;

23. VYPOCET KOMB. CISLA;

24. VYPOCET KOMB. CISLA;

25. VYPOCET KOMB. CISLA;

26. VYPOCET KOMB. CISLA;

27. VYPOCET KOMB. CISLA;

28. VYPOCET KOMB. CISLA;

29. VYPOCET KOMB. CISLA;

30. VYPOCET KOMB. CISLA;

31. VYPOCET KOMB. CISLA;

32. VYPOCET KOMB. CISLA;

33. VYPOCET KOMB. CISLA;

34. VYPOCET KOMB. CISLA;

35. VYPOCET KOMB. CISLA;

36. VYPOCET KOMB. CISLA;

37. VYPOCET KOMB. CISLA;

38. VYPOCET KOMB. CISLA;

39. VYPOCET KOMB. CISLA;

40. VYPOCET KOMB. CISLA;

41. VYPOCET KOMB. CISLA;

42. VYPOCET KOMB. CISLA;

43. VYPOCET KOMB. CISLA;

44. VYPOCET KOMB. CISLA;

45. VYPOCET KOMB. CISLA;

46. VYPOCET KOMB. CISLA;

47. VYPOCET KOMB. CISLA;

48. VYPOCET KOMB. CISLA;

49. VYPOCET KOMB. CISLA;

50. VYPOCET KOMB. CISLA;

51. VYPOCET KOMB. CISLA;

52. VYPOCET KOMB. CISLA;

53. VYPOCET KOMB. CISLA;

54. VYPOCET KOMB. CISLA;

COMMENT VYPOCET KOMB. CISLA;

FUNCTION KCL(KA,KB);

KC=KA-KB;

CALL FACT (KC,LC);

CALL FACT (KA,LA);

CALL FACT (KB,LB);

KCL=LA/(LC\*LB);

RETURN;

END;



\*\*\*\*\*  
MENO PROGRAMU: SIM22

KOMENTAR:

```
1 PROGRAM SIMULACE REGULACNIHO POCHODU;
2 DIMENSION F(3,40),SF(40,3),SFF(40,40),FF(40,40),A(40,40),Y(40,3),
3           W(3,1),AW(40,3),YW(40,1),NX(2,40),AB(3,40),FR(3,120),
4           YR(120,1),G(3,3),UK(3),YK(40),FU(3,120),GW(3,3);
5 EQUIVALENCE (SFF(1),FR(1)),(FF(1),YR(1)),(AB(1),AW(1),GW(1));
6
7
8      JR=3;
9      NR=40;
10     NR3=3*NR;
11     READ READ,DT,FK,KR,MR,MZ,MX,NXY,IR,IT;
12
13     IF KEY(15),37,44;
14     44 I1=0;
15     DO 70 I=1,80;
16     70 WRITE PUNCH,201,I1;
17     201 FORMAT(A1);
18     WRITE PUNCH,200,DT,FK,KR,MR,MZ,MX,NXY,IR,IT;
19     200 FORMAT(
20      ',E14.7,',',E14.7,7(*, *,I3));
21
22     37 IRK=IR*KR+KR+1;
23     IF (IRK-NR),33,33,34;
24     34 IR=(NR-KR-1)/KR;
25     GOTO 37;
26     33 IF ((NU+2)*KR-IRK),42,42,43;
27     43 NU=IRK/KR-2;
28     42 WRITELINE,100,DT,FK,KR,MR,MZ,MX,NXY,IR;
29     100 FORMAT(
30      VYPOCET SIMULACE REG. POCHODU
31
32     DT/I=' ,E14.7,'   FK=' ,E14.7,'   KR=' ,I3,'   MR=' ,I3,'   MZ=' ,I3,'   MX=' ,I3,
33     '   NXY=' ,I3,'   IR=' ,I3);
34     UK(1)=KR;
35     DTK=DT/UK(1);
36     WRITE LINE,111;
37     111 FORMAT(
38     NX
39     ');
40     DO 21 I=1,2;
41     110 FORMAT(
42     ');
43     );
44     DO 20 J=1,NXY;
45     READ READ,NX(I,J);
46     20 WRITE LINE,112,NX(I,J);
47     112 FORMAT(1X,I3);
48     21 WRITE LINE,110;
49
50     DO 36 I=1,MR;
51     DO 36 J=1,NXY;
52     36 READ READ,AB(I,J);
53     WRITE LINE,116;
54     116 FORMAT(
55     MATICE ALGORITU A,B');
```

```

56     CALL TIS(AB,MR,NXY,JR,NR);
57     WRITELINE,110;
58 COMMENT VYPOCET PRECH.CHAR. ;
59 DO 68 I=1,IRK;
60 I1=I-1;
61 CALL VYT(G,I1,DTK,JR,I5);
62 I1=I1*MZ;
63 DO 68 I2=1,MX;
64 J=(I2-1)*MZ;
65 DO 68 I3=1,MZ;
66 I4=I1+I3;
67 I5=J+I3;
68 FF(I,I5)=G(I2,I3)*FK;
69 68 FU(I2,I4)=FF(1,I5);
70 WRITE LINE,144;
71 144 FORMAT('
72 PRECH.CHAR.');
73 I1=MX*MZ;
74 CALL TIST(FF,IRK,I1,NR,NR);
75 CALL GRAFT(FF,NR,NR,IRK,I1,0,0,0.0,110);
76 WRITELINE,122;
77 122 FORMAT('
78 REGULACE');
79 IR=IRK-1;
80 I1R=IR+1;
81 MRZ=MR;
82 DO 39 I6=1,1;
83 IF(I6-1),73,73,74;
84 74 MRZ=MZ;
85 73 DO 39 I1=1,MRZ;
86
87
88 CALL VYTG(G,0,I6,1,JR,MR,MZ,FU);
89 DO 22 I=1,I1R;
90 DO 72 J=1,MR;
91 72 Y(I,J)=0.0;
92 DO 22 J=1,MX;
93 22 SF(I,J)=G(J,I1);
94
95
96 IB=KR-1;
97 DO 19 I=1,IR;
98 I4=(I-1)*MR;
99 I7=I*MR;
100 IB=IB+1;
101 DO 65 J=1,MR;
102 65 W(J,1)=0.0;
103 IF(IB-KR),60,61,61;
104 61 IB=0;
105
106 DO 24 J=1,NXY;
107 I2=NX(1,J);
108 I3=NX(2,J)*KR+I1R;
109 IF(I2),25,26,26;
110 25 I2=-I2;
111 YW(J,1)=Y(I3,I2);
112 GOTO 24;
113 26 YW(J,1)=SF(I3,I2);
114 24 CONTINUE;
115 CALL NAS(AB,YW,W,MR,NXY,1,JR,NR,1);
116 IF(IT),59,60,60;
117 59 WRITELINE,117;
118 117 FORMAT('
(X,Y)T');

```

```

56     CALL TIS(AB,MR,NXY,JR,NR);
57     WRITELINE,110;
58 COMMENT VYPOCET PRECH.CHAR. ;
59 DO 68 I=1,IRK;
60 I1=I-1;
61 CALL VYT(G,I1,DTK,JR,I5);
62 I1=I1*MZ;
63 DO 68 I2=1,MX;
64 J=(I2-1)*MZ;
65 DO 68 I3=1,MZ;
66 I4=I1+I3;
67 I5=J+I3;
68 FF(I,I5)=G(I2,I3)*FK;
69 68 FU(I2,I4)=FF(1,I5);
70 WRITE LINE,144;
71 144 FORMAT('
72 PRECH.CHAR.');
73 I1=MX*MZ;
74 CALL TIST(FF,IRK,I1,NR,NR);
75 CALL GRAFT(FF,NR,NR,IRK,I1,0,0,0.0,110);
76 WRITELINE,122;
77 122 FORMAT('
78 REGULACE');
79 IR=IRK-1;
80 I1R=IR+1;
81 MRZ=MR;
82 DO 39 I6=1,1;
83 IF(I6-1),73,73,74;
84 74 MRZ=MZ;
85 73 DO 39 I1=1,MRZ;
86
87
88 CALL VYTG(G,0,I6,1,JR,MR,MZ,FU);
89 DO 22 I=1,I1R;
90 DO 72 J=1,MR;
91 72 Y(I,J)=0.0;
92 DO 22 J=1,MX;
93 22 SF(I,J)=G(J,I1);
94
95
96 IB=KR-1;
97 DO 19 I=1,IR;
98 I4=(I-1)*MR;
99 I7=I*MR;
100 IB=IB+1;
101 DO 65 J=1,MR;
102 65 W(J,1)=0.0;
103 IF(IB-KR),60,61,61;
104 61 IB=0;
105
106 DO 24 J=1,NXY;
107 I2=NX(1,J);
108 I3=NX(2,J)*KR+I1R;
109 IF(I2),25,26,26;
110 25 I2=-I2;
111 YW(J,1)=Y(I3,I2);
112 GOTO 24;
113 26 YW(J,1)=SF(I3,I2);
114 24 CONTINUE;
115 CALL NAS(AB,YW,W,MR,NXY,1,JR,NR,1);
116 IF(IT),59,60,60;
117 59 WRITELINE,117;
118 117 FORMAT('
(X,Y)T');

```

```
121 CALL TIST(YW,NXY,1,NR,1);
122
123      WRITELINE,118;
124 118 FORMAT('
125      YT');
126      CALL TIST(W,MR,1,JR,1);
127 60 DO 27 J=1,IR;
128      DO 67 I2=1,MX;
129 67 SF(J,I2)=SF(J+1,I2);
130 DO 27 I2=1,MR;
131 27 Y(J,I2)=Y(J+1,I2);
132      DO 28 I2=1,MR;
133 I3=I4+I2;
134 YR(I3,1)=W(I2,1);
135 28 Y(IR,I2)=W(I2,1);
136
137
138      CALL VYTF(FR,I,1,JR,NR3,MX,MR,MZ,FU);
139      CALL VYTG(G,I,I6,1,JR,MX,MR,MZ,FU);
140      CALL NAS(FR,YR,W,MX,I7,1,JR,NR3,1);
141 IF(IT),71,62,62;
142 71 I2=I-1;
143      WRITELINE,101,I2;
144      WRITELINE,124;
145      CALL TIS(FR,MX,I7,JR,NR3);
146      WRITELINE,120;
147 120 FORMAT('
148 (F*YT);
149      CALL TIST(W,MX,1,JR,1);
150      WRITELINE,119;
151 119 FORMAT('
152 G');
153      CALL TIS(G,MX,MR,JR,JR);
154
155
156
157 62 DO 19 J=1,MX;
158 19 SF(I1R,J)=W(J,1)+G(J,I1);
159
160
161      WRITELINE,121;
162 121 FORMAT('
163 X');
164      CALL TIST(SF,I1R,MX,NR,JR);
165 WRITE LINE,143;
166 143 FORMAT('
167 DELTA Y');
168      CALL TIST(Y,I1R,MR,NR,JR);
169 DO 77 I=1,IR;
170 DO 77 J=1,MR;
171 77 Y(I+1,J)=Y(I+1,J)+Y(I,J);
172      WRITE LINE,118;
173      CALL TIST(Y,I1R,MR,NR,JR);
174      CALL GRAFT(SF,NR,JR,I1R,MX,0,0,0,0,110);
175 39 CALL GRAFT(Y,NR,JR,I1R,MR,0,0,0,0,110);
176 40 CONTINUE;
177 124 FORMAT('F');
178 101 FORMAT('
179 I=',I3);
180 END;
181
182
183
184 SUBROUTINE NAS(A,B,C,L,M,N,LM,MM,NM);
185 DIMENSION A(LM,MM),B(MM,NM),C(LM,NM);
```

```

186 DO 1 I=1,L;
187 DO 1 J=1,N;
188 W=0.0;
189 DO 2 K=1,M;
190 2 W=W+A(I,K)*B(K,J);
191 1 C(I,J)=W;
192 RETURN;
193 END;
194
195
196 SUBROUTINE TIS(A,MA,NA,M,N);
197 DIMENSION A(M,N);
198 WRITELINE,101;
199 101 FORMAT(
200 ');
201 DO 1I=1,MA;
202 I1=5;
203 DO 2J=1,NA;
204 WRITELINE,100,A(I,J);
205 100FORMAT(E15.7);
206 I1=I1-1;
207 IF(I1),3,3,2;
208 3I1=5;
209 WRITE LINE,101;
210 2CONTINUE;
211 1WRITELINE,101;
212 RETURN;
213 END;
214
215
216 SUBROUTINE TIST(A,MA,NA,M,N);
217     DIMENSION A(M,N);
218     WRITELINE,101;
219 101 FORMAT(
220 ');
221     DO 1 J=1,NA;
222     I1=5;
223     DO 2 I=1,MA;
224     WRITELINE,100,A(I,J);
225 100 FORMAT(E15.7);
226     I1=I1-1;
227     IF(I1),3,3,2;
228     3 I1=5;
229     WRITELINE,101;
230     2 CONTINUE;
231     1 WRITELINE,101;
232     RETURN;
233 END;
234
235
236 SUBROUTINE HAST(F,V,WF,M,N,MR,NR);
237 DIMENSION F(MR,NR),V(MR),WF(NR,NR);
238 DO 1IR=1,N;
239 DO 1 IS=IR,N;
240 W=0.0;
241 DO 3J=1,M;
242 3W=W+F(J,IR)*F(J,IS)*V(J);
243 WF(IR,IS)=W;
244 1 WF(IS,IR)=W;
245 RETURN;
246 END;
247
248 SUBROUTINE MAX(A,N,NR);
249 DIMENSION A(NR,NR);
250 DO 1I=1,N;

```

```
251 1A(I,I)=A(I,I)-0.1E1;
252 AM=0.0;
253 DO 2I=1,N;
254 DO 2J=1,N;
255 P=ABS(A(I,J));
256 IF(AM-P),3,2,2;
257 3AM=P;
258 2CONTINUE;
259 WRITE LINE,100,AM;
260 100FORMAT(
261 MAX. CHYBA=*,E14.7);
262 WRITE LINE,101;
263 101 FORMAT(
264 );
265 RETURN;
266 END;
267
268
269 SUBROUTINE GRAFT (Y,MM,NN,MMAX,NMAX,L1,L2,T,IRKA);
270 DIMENSION Y(MM,NN);
271 DIMENSION GV(5),POS(5),YN(5),YX(5),IZ(5);
272 IF(NMAX-5),7,7,8;
273 8 NMAX=5;
274 7 WRITE LINE,300;
275 300 FORMAT(
276 );
277 WRITE LINE,302;
278 302 FORMAT(
279 SEZNAM OZNACENI * F1*,4X,'X F2*,4X,*0 F3*,4X,*+F4*,4X,*=F5*,4X,*.OSA*';
280 DO 66 N=1,NMAX;
281 YX(N)=-0.1E9;
282 YN(N)=+0.1E9;
283 DO 66 M=1,NMAX;
284 IF(Y(M,N)-YX(N)),62,62,63;
285 63 YX(N)=Y(M,N);
286 62 IF(Y(M,N)-YN(N)),64,66,66;
287 64 YN(N)=Y(M,N);
288 66 CONTINUE;
289 IF(1-L2),71,72,400;
290 71 WRITE LINE,301,T;
291 301 FORMAT(6X,'OMEZENI MINIMA=',F12.4);
292 DO 40 N=1,NMAX;
293 IF(YN(N)-T),74,40,40;
294 74 YN(N)=T;
295 40 CONTINUE;
296 GOTO 400;
297 72 WRITE LINE,310,T;
298 310 FORMAT(6X,'OMEZENI MAXIMA= ',F12.4);
299 DO 42 N=1,NMAX;
300 IF(YX(N)-T),42,42,75;
301 75 YX(N)=T;
302 42 CONTINUE;
303 400 YMAX=-0.1E9;
304 YMIN=+0.1E9;
305 DO 16 N=1,NMAX;
306 IF(YX(N)-YMAX),5,5,15;
307 15 YMAX=YX(N);
308 5 IF(YN(N)-YMIN),6,16,16;
309 6 YMIN=YN(N);
310 16 CONTINUE;
311 IF(YMIN),51,51,50;
312 50 YMIN=0.0;
313 51 IF(YMAX),52,53,53;
314 52 YMAX=0.0;
```

```
316 53 W=IRKA-2;
317 GVOC=W/(YMAX-YMIN);
318 POSUN=GVOC*ABS(YMIN)+0.15E1;
319 K=POSUN;
320 IF(1-L1),600,700,600;
321 600 DO 44 N=1,NMAX;
322 GV(N)=GVOC;
323 44 POS(N)=POSUN;
324 GOTO 888;
325 700 DO 46 N=1,NMAX;
326 GV(N)=W/(YX(N)-YN(N));
327 46 POS(N)=0.15E1-GV(N)*YN(N);
328 K=0;
329 888 WRITE LINE,109;
330 109 FORMAT('
331 ');
332 DO 811 N=1,NMAX;
333 811 WRITE LINE,321,N,YN(N);
334 WRITE LINE,109;
335 DO 812 N=1,NMAX;
336 812 WRITE LINE,322,N,YX(N);
337 322 FORMAT(6X,'MAX',I2,E14.7);
338 321 FORMAT(6X,'MIN',I2,E14.7);
339 WRITE LINE,307;
340 307 FORMAT('
341
342
343
344
345 LINE');
346 DO 1000 M=1,IRKA,10;
347 1000 WRITE LINE,303;
348 303 FORMAT('1234567890');
349 DO 93 I=1,5;
350 93 IZ(I)=0;
351 COMMENT TISK GRAFU;
352 IRK=IRKA+2;
353 DO 1 M=1,MMAX;
354 DO 2 N=1,NMAX;
355 2 IZ(N)=GV(N)*Y(M,N)+POS(N);
356 I=M-1;
357 WRITELINE,111,I;
358 DO 3 I=1,IRK;
359 IF(I-IZ(1)),20,21,20;
360 21 WRITE LINE,101;
361 GOTO 3;
362 20 IF(I-IZ(2)),22,23,22;
363 23 WRITE LINE,102;
364 GOTO 3;
365 22 IF(I-IZ(3)),24,25,24;
366 25 WRITE LINE,103;
367 GOTO 3;
368 24 IF(I-IZ(4)),26,27,26;
369 27 WRITE LINE,104;
370 GOTO 3;
371 26 IF(I-IZ(5)),9,29,9;
372 29 WRITE LINE,105;
373 GOTO 3;
374 9 IF(I-K),30,31,30;
375 31 WRITE LINE,110;
376 GOTO 3;
377 30 WRITE LINE,100;
378 3 CONTINUE;
379 1 CONTINUE;
380 WRITE LINE,300;
```

```
381    111 FORMAT(*  
382    ',I4);  
383    100 FORMAT(*' );  
384    101 FORMAT('*');  
385    102 FORMAT('X');  
386    103 FORMAT('0');  
387    104 FORMAT('+');  
388    105 FORMAT('=');  
389    110 FORMAT('.');  
390    RETURN;  
391    END;  
392  
393  
394  
395    SUBROUTINE VYTF(F,N,KR,JR,NR,MX,MR,MZ,FU);  
396    DIMENSION F(JR,NR),FU(3,45);  
397    DO 1 I=1,N;  
398      I1=(N+1-I)*KR*MZ;  
399      I2=(I-1)*MR;  
400      DO 1 I3=1,MR;  
401      I4=I1+I3;  
402      I5=I2+I3;  
403      DO 1 I6=1,MX;  
404      1 F(I6,I5)=FU(I6,I4);  
405    RETURN;  
406    END;  
407  
408  
409  
410  
411    SUBROUTINE VYTG(G,IK,IG,KR,JR,MX,MR,MZ,FU);  
412    DIMENSION G(JR,JR),FU(3,45);  
413    IF (IG-1),2,2,1;  
414      1 DO 4 I2=1,MR;  
415        DO 3 I1=1,MX;  
416        3 G(I1,I2)=0.0;  
417        4 G(I2,I2)=0.1E1;  
418    RETURN;  
419      2 I1=IK*KR*MZ;  
420      DO 5 I2=1,MZ;  
421        I3=I1+I2;  
422        DO 5 I4=1,MX;  
423        5 G(I4,I2)=FU(I4,I3);  
424    RETURN;  
425    END;  
426  
427  
428  
429    SUBROUTINE VYT(G,I1,DTK,JR,IN);  
430    COMMENT DETERMINOVANA PORUCHA;  
431    DIMENSION G(JR,JR);  
432    IF (IN),1,1,2;  
433    1 IN=1;  
434    WRITE LINE,100;  
435    100 FORMAT(*  
436    DET. PORUCHA D  
437    *);  
438    2 T=I1;  
439    T=T*DTK;  
440    G(1,1)=FN(2,T);  
441    G(1,2)=FN(1,T);  
442    G(2,1)=G(1,2);  
443    G(2,2)=0.0;  
444    RETURN;  
445    END;
```

```

446
447
448
449
450 FUNCTION FN(NR,T);
451     IT=T;
452     K=2*IABS(IT)+NR+25;
453     S=0.0;
454     EPS=0.0;
455     DO 201 J=1,K;
456     N=K-J+1;
457     R=N;
458     R=T/R;
459     EPS=EPS*R;
460     S=(S+0.1E1)*R;
461     IF (N-NR),201,200,201;
462 200 EPS=S;
463 201 CONTINUE;
464     FN=EPS/(S+0.1E1);
465     RETURN;
466     END;
467
468
469 END OF PROGRAM;
470
```

VYJASNEJENIE  
 VYKONUJE VYHOLOCENIE KONVERGENCE PRI VYPOCTU  
 KRUHU PRVOKUTNEMOZNI  
 S=(S+0.1E1)\*R;  
 IF (N-NR),201,200,201;  
 EPS=S;  
 FN=EPS/(S+0.1E1);  
 RETURN;  
 END;  
 END OF PROGRAM;

VYJASNEJENIE  
 VYKONUJE VYHOLOCENIE KONVERGENCE PRI VYPOCTU  
 KRUHU PRVOKUTNEMOZNI  
 S=(S+0.1E1)\*R;  
 IF (N-NR),201,200,201;  
 EPS=S;  
 FN=EPS/(S+0.1E1);  
 RETURN;  
 END;  
 END OF PROGRAM;

\*\*\*\*\*  
MENO PROGRAMU: RTZ  
KOMENTAR:

```
1      PROGRAM NA URYCHLENI KONVERGENCE PRI VYPOCTU
2      OPTIMALNICH AKCNICH ZASAHU
3      V MINIMALNIM POCTU KROKU GRADIENT.METODOU;
4      DIMENSION YD(20),F(20),Y(20),U(20,20),D1(20),D2(20);
5      DIMENSION PAM(20),NC(10);
6      REAL KAPA;
7      READ READ,
8      NR,P,KAPA,T,MK,KU,NI;
9      WRITE LINE, 108;
10     WRITE LINE, 100;
11     WRITE LINE,101,NR,P,KAPA,T;
12     WRITE LINE,108;
13     WRITE LINE,103;
14     WRITE LINE,108;
15     DO 22I=1,MK;
16     22READ READ,F(I);
17     DO 23 I=1,MK;
18     WRITE LINE,111,F(I);
19     23 WRITE LINE,108;
20     WRITE LINE,108;
21     COMMENT VYPOCET LEVE STR.PODMINK.ROVNIC;
22     M=NR+1;
23     DO 39 K=1,M;
24     39 READ READ,NC(K);
25     READ READ ,KS,KPS;
26     KF=M;
27     DO 24KL=1,M;
28     Y(KL) =-F(KF);
29     KF=KF+1;
30     24  CONTINUE;
31     COMMENT VYPOCET PRAVEE STR.PODMINK.ROVNIC;
32     NA=NR;
33     DO 38 KL=1,M;
34     KB=NA;
35     DO 4 K=1,M;
36     IF (NR),62,62,61;
37     62 U(KL,K)=F(K);
38     GOTO 4;
39     61IF (KB),26,26,25;
40     26 U(KL,K)=0.0;
41     GOTO 4;
42     25U(KL,K)=F(KB);
43     KB=KB-1;
44     4  CONTINUE;
45     NA=NA+1;
46     38  CONTINUE;
47     COMMENT TISK PODLE KLICE 15;
48     IF KEY(15),98,99;
49     98 WRITE LINE,201;
50     WRITE LINE,108;
51     DO 87 KL=1,M;
52     87 WRITE LINE,200,Y(KL);
53     WRITE LINE,108;
54     WRITE LINE,108;
```

```
56 DO 88 KL=1,M;
57 DO 89 K=1,M;
58 89 WRITE LINE,202,U(KL,K);
59 88 WRITE LINE,108;
60 200 FORMAT('
61 ',E14.7);
62 201 FORMAT('
63 MEZIVYSLEDKY');
64 202 FORMAT(2X,F10.7);
65 99WRITE LINE,108;
66 IB=1;
67 IF KEY (5),92,93;
68 92 WRITE LINE ,106;
69 106 FORMAT (''
70 POKRACOVANI VYPOCTU OD VLOZENEHO
71 POCATECNIHO ODHADU ');
72 DO 29 K=1,M;
73 READ READ,D1(K);
74 29 WRITE LINE,109,D1(K);
75 109 FORMAT (''
76 ',E14.7);
77 WRITE LINE,108;
78 GOTO 28;
79 93 DO 16 K=1,M;
80 16 D1(K)=0.0;
81 28 WRITE LINE,107;
82 WRITE LINE,108;
83 DO 17 KA=1,NI;
84 IC=KA-(KA/KPS*KPS);
85 1F(1C),1,2,1;

86 2 IC=KPS;

87 1 IF(KA-IC),11,11,10;
88 10 IF(IC-1),11,12,11;
89 12 IB=IB+1;
90 GOTO 3;
91 11 IB=IB;
92 3 CALL GENER(IB,KS,NC,KL,KA,IQ);
93 CALL TEST(IB,IC,KPS,KLC);
94 IF(KLC-1),56,56,57;
95 57 CALL GRAD(D1,D2,U,Y,M,KL,KAPA,KA);
96 CALL PAMET(IB,D2,IC,PAM,M);
97 GOTO 58;
98 58 CALL GRADS(D1,D2,U,Y,M,KL,0.1E1,KA,PAM);
99 58DO 13 K=1,M;
100 D1(K)=D2(K);
101 13 CONTINUE;
102 17 CONTINUE;
103 102 FORMAT(5X,E14.7);
104 100 FORMAT (''
105 VYPOCET OPTIM. AKCNICH ZASAHU V MIN. POCTU KROKU GRAD. METODOU
106 ****
107 101 FORMAT (''
108 RAD SOUSTAVY N=',I3,'
109 P =',F5.2,', KAPA=',F5.2,', T=',F5.2);
110 103 FORMAT (''
111 HODNOTY PRECHODOVE CHARAKTERISTIKY');
112 105 FORMAT(I7);
113 111 FORMAT (25X,E14.7);
114 107 FORMAT(' CISLO KROKU      AKCNI ZASAHY
115 ****
116 108 FORMAT('
117 ');
118 END;
```

```

117 SUBROUTINE GRADS(D1,D2,U,Y,N,KL,APA,KA,PAM) ;
120 DIMENSION D1(20),U(20,20),Y(20),D2(20),PAM(20) ;
121 DIMENSION SM(20) ;
122 T1=0.0E0;
123 T2=0.0E0;
124 WRITE LINE,102;
125 WRITE LINE,108;
126 108 FORMAT('
127 ');
128 DO 19 K=1,N;
129 101 FORMAT('
130 ',F10.7);
131 SM(K)=D1(K)-PAM(K);
132 102 FORMAT('
133     HLEDANI VE SMERU');
134 T1= T1+D1(K)*U(KL,K);
135 19 T2 =T2 + SM(K)*U(KL,K);
136 DO 18 K=1,N;
137     D2(K)=D1(K)+(APA*(Y(KL)-T1)/T2)*SM(K);
138 CALL TISK(KL,KA,1,K,D2,N);
139 18 CONTINUE;
140 RETURN;
141 END;
142 SUBROUTINE GRAD(I1,D2,U,Y,N,KL,KAPA,KA);
143 REAL KAPA;
144 DIMENSION D1(20),U(20,20),Y(20),D2(20);
145 DIMENSION A(20);
146 T1=0.0E0;
147 T2=0.0E0;
148 DO 19 K=1,N;
149 T1=T1+D1(K)*U(KL,K);
150 19 T2= T2+U(KL,K)*U(KL,K);
151 DO 18 K=1,N;
152 A(K)=U(KL,K);
153 D2 (K)=D1(K)+(KAPA*(Y(KL)-T1)/T2)*A(K);

154 CALL TISK(KL,KA,1,K,D2,N);
155 18 CONTINUE;
156 RETURN;
157 END;
158 SUBROUTINE TISK(KL,KA,KV,K,D2,N);
159 DIMENSION D2(20);
160 KK=KA/KV*KV;
161 IF(N=5),93,94,94;
162 93 NC=N;
163 GOTO 98;
164 94 NC=5;
165 98 KP=K/NC*NC;
166 IF(KA-KK),55,54,55;
167 54 CONTINUE;
168 IF(K-1),56,57,56;
169 57 WRITE LINE,105,KA;
170 WRITE LINE,105,KL;
171 56 WRITE LINE,102,D2(K);
172 IF(K-KP),59,58,59;
173 58 WRITE LINE,108;
174 WRITE LINE,113;
175 59 IF(K-N),18,60,18;
176 60 WRITE LINE,108;
177 55 CONTINUE;
178 18 CONTINUE;
179 105 FORMAT(I6);
180 102 FORMAT(5X,E14.7);
181 113 FORMAT(12X);
182 108 FORMAT('

```

```
183    );
184    RETURN;
185    END;
186    SUBROUTINE PAMET(IB,D2,IC,PAM,N);
187    DIMENSION D2(20),PAM(20);
188    KAS=IB/2*2;
189    IF (IB-KAS),1,2,1;
190    1 IF (IC-3),3,4,3;
191    4 DO 5K=1,N;
192    PAM(K)=D2(K);
193    5 CONTINUE;
194    3 RETURN;
195    2 IF (IC-2),6,7,6;
196    7 DO 8 K=1,N;
197    PAM(K)=D2(K);
198    8 CONTINUE;
199    6 RETURN;
200    END;
201    SUBROUTINE GENER(IB,KS,NC,KL,KA,IQ);
202    DIMENSION NC(10);
203    IQ=IB-(IB/KS*KS);
204    KAS=KA/2*2;
205    IBS=IB/2*2;
206    IF (IQ),1,2,1;
207    2 IQ=1;
208    IF (KA-KAS),3,4,3;
209    4 KL=NC(KS);
210    RETURN;
211    3 KL=NC(IQ);
212    RETURN;
213    1 IF (IB-IBS),5,6,5;
214    6 IF (KA-KAS),7,8,7;
215    8 KL=NC(IQ);
216    RETURN;
217    7 KL=NC(IQ+1);
218    RETURN;
219    5 IF (KA-KAS),9,10,9;
220    10 KL=NC(IQ+1);
221    RETURN;
222    9 KL=NC(IQ);
223    RETURN;
224    END;
225    SUBROUTINE TEST(IB,IC,KPS,KLC);
226    IBS=IB/2*2;
227    IF (IB-IBS),1,9,1;
228    1 IF (IB-1),3,7,3;
229    3 IF (IC-KPS),6,10,6;
230    6 IF (IC-1),9,8,9;
231    8 KLC=1;
232    RETURN;
233    7 IF (IC-KPS),9,10,9;
234    10 KLC=1;
235    RETURN;
236    9 KLC=2;
237    RETURN;
238    END;
239    END OF PROGRAM;
240
```

V 16/82 T

+ příloha